RAPPORT DE CAMPAGNE À DESTINATION DE L'AGENCE DE L'EAU ARTOIS - PICARDIE

# DCE: Suivi de l'ichtyofaune dans les masses d'eau de transition

Campagne d'automne 2019











## RAPPORT DE CAMPAGNE À DESTINATION DE L'AGENCE DE L'EAU ARTOIS - PICARDIE

## DCEE : Suivi de l'ichtyofaune en masses d'eau de transition

Campagne d'automne 2019 Baie de Somme Baie d'Authie Estuaire de la Canche

Par Sylvain DUHAMEL – sylvain.duhamel@csln.fr

Pour L'Agence de l'Eau Artois - Picardie

Avec la collaboration de :

Mélissa REY: Prélèvements, traitement des échantillons, saisie des données

Camille HANIN: Cartographie

Version provisoire - décembre 2019

## SOMMAIRE

1.			JCTION	
	1.1	E.L.F.I	.l : indicateur poissons	5
	1.2	Portag	ge par l'Agence de l'eau Artois-Picardie	5
2.	PRO	отосо	OLE	6
	2.1	Collab	boration avec la pêche professionnelle	6
	2.2	Techn	niques et engins de pêche	6
		2.2.1	Caractéristiques des engins de pêche	7
			Protocole de pêche	
	2.3		nètres hydrologiques	
			ment des saptures	
	2.4		Albord 8	
			Au aboratoire	8
			2.4.2.1 Identification des espèces	
			2.4.2.2 Biométries	
		2.4.3	Dénombrement des effectifs	9
2	PF	SIII TA	ATS	11
٠.			ndrier des pêches	
			ctéristiques générales	
	2.2	La Pa	aie de Somme	12
	3.3	331	Organisation de l'échantillonnage	12
		3.3.2	Conditions hydrologiques	13
		3.3.3	Description succincte des assemblages d'espèces	15
		0.0.0	3.3.3.1 Fréquence d'occurrence	
			3.3.3.2 Abondances	15
			3.3.3.3 Répartition spatiale	16
			3.3.3.4 Structure en taille de poissons	20
	3.4	Baie	d'Authie (tranche conditionnelle)	23
		3.4.1	Organisation de l'échantillonnage	23
		3.4.2	Conditions hydrologiques	24
		3.4.3	Description succincte des assemblages d'espèces	25
			3.4.3.1 Fréquence d'occurrence	26
			3.4.3.2 Abondances	26
			3.4.3.3 Répartition spatiale	26
			3.4.3.4 Structure en taille	
	3.5	Estua	aire de la Canche (tranche conditionnelle)	29
		3.5.1	Organisation de l'échantillonnage	30
		3.5.2	Conditions hydrologiques	31
		3.5.3	Description succincte des assemblages d'espèces	31
			3.5.3.1 Fréquence d'occurrence	32
			3.5.3.2 Abondances	32
			3.5.3.4 Spectre de taille des individus	32
4		DNCLU	usions	34
	4.	1 Con	ditions d'échantillonnage	amountain.
	4	2 1 00	assemblages d'espèces observés	34
	-			

	Baie de Somme	34
4.2.1	Baie de Somme	35
4.2.2	Baie d'Authie et de Canche	
4.2.3	A l'échelle des trois sites	35
5. REFEREI	NCES BIBLIOGRAPHIQUES	36
ANNEXES		
ANNEXE 1.	Baie de Somme : CPUE lors de la campagne d'automne 2019	39
ANNEXE 2.	Baie d'Authie : CPUE lors de la campagne d'automne 2019	41
ANNEXE 3	Estuaire de la Canche : CPUE lors de la campagne d'automne 2019	42

## 1. Introduction

La Directive Cadre Européenne sur l'Eau impose aux Etats membres d'évaluer et de suivre les éléments de qualité biologique, physico-chimique et hydromorphologique des eaux de transition et de réaliser un contrôle de surveillance. Ce contrôle a pour but de fournir des informations sur l'état écologique des masses d'eau, de mettre en évidence des écarts au bon état et d'identifier les causes possibles de la non atteinte pour prendre des mesures correctives. Ce dispositif permet aussi de mettre en évidence des modifications ou fluctuations naturelles à long terme ou résultant de l'activité humaine. Les estuaires sont considérés comme des masses d'eaux de transition (MET) entre les eaux douces continentales et les eaux marines. Dans les estuaires, la qualification de l'état écologique des masses d'eau repose notamment sur les peuplements ichtyologiques, à travers divers paramètres tels que la composition, l'abondance et la structure de l'âge de l'ichtyofaune.

## 1.1 E.L.F.I: INDICATEUR POISSONS

Les eaux de transition (estuaires, deltas, lagunes, marais littoraux) jouent un rôle essentiel dans le fonctionnement des systèmes aquatiques en assurant pour de nombreuses espèces de poissons d'origine marine, migratrices ou autochtones, des fonctions vitales pour le bon déroulement de leur cycle biologique. Nombre de ces espèces ont de plus un intérêt patrimonial (éperlan, lamproie, alose...) ou halieutique pour les pêcheries continentales ou littorales (sole, bar, anguille, saumon...).

Un indicateur « Poissons en eau de transition » a été élaboré par un groupe d'experts nationaux piloté par l'IRSTEA (ex CEMAGREF) sur la base de campagnes exploratoires menées dans les différents districts géographiques français entre 2005 et 2007.

L'objectif central de ce programme de surveillance consiste à réaliser des recensements de l'ichtyofaune présente dans les estuaires en appliquant un protocole national basé sur l'utilisation d'un chalut à perche. Les résultats acquis à l'issue des campagnes de pêche permettent de dresser une liste d'espèces composant le peuplement actuel des masses d'eau de transition et de déterminer l'abondance et la structure en âge des fractions de population constituant le peuplement. Il s'agit d'informations indispensables pour renseigner l'indicateur « Poissons en eau de transition » (ELFI = Estuarine and Lagoon Fish Index) visant à qualifier l'état écologique de ces masses d'eau (voir Girardin et al., 2009 / Programme Liteau).

## 1.2 PORTAGE PAR L'AGENCE DE L'EAU ARTOIS-PICARDIE

La mise en place et le pilotage du programme de surveillance des MET de la côte d'Opale est assurée par l'Agence de l'Eau Artois-Picardie. A la demande de cet organisme, l'Université du Littoral Côte d'Opale (ULCO) a réalisée l'état des lieux des peuplements piscicoles des eaux de transition du bassin Artois Picardie au cours des années 2000, puis plus récemment le suivi de ces MET pour la période 2013 - 2015.

Dans la continuité de ces travaux, ce document présente les résultats de la seconde campagne de pêche réalisée par la Cellule de Suivi du Littoral Normand (CSLN) sélectionnée comme opérateur de ce suivi sur trois sites des Hauts de France pour la période 2019-2021 (totalisant six campagnes de suivi à raison de deux par an - au printemps et en automne), à savoir la Baie de Somme, la Baie d'Authie et l'estuaire de la Canche.

berenic INPARE 120

## 2. Protocole

## 2.1 COLLABORATION AVEC LA PECHE PROFESSIONNELLE

Les 3 sites considérés dans ce suivi sont les principaux estuaires des Hauts de France, à savoir la Baie de Somme, la baie d'Authie et la Baie de Canche. Ils ont pour particularité d'être majoritairement constitués de zones intertidales et de chenaux peu profonds à basse mer, non navigables à ce moment de la marée excepté en baie de Canche pour les canots de faibles tirants d'eau. Afin de satisfaire au protocole et de prospecter l'ensemble des habitats présents, on envisage la mise en œuvre d'un canot de faible tirant d'eau capable de se rendre rapidement à pleine mer d'une station à l'autre, y compris dans les fonds de baie et dans les petits fonds latéraux recouverts peu de temps par la marée.

Notre connaissance du site nous a orienté à se tourner vers un pêcheur professionnel local connaissant parfaitement la Baie de Somme et les contraintes inhérentes aux sites à suivre : Monsieur Fabrice Montassine, pêcheur professionnel au Hourdel. Ce pêcheur collabore également depuis de nombreuses années avec l'Ifremer pour la réalisation du suivi halieutique de la centrale nucléaire de Penly.

## 2.2 TECHNIQUES ET ENGINS DE PECHE

Les lignes directrices pour le choix d'un moyen nautique approprié à ces trois estuaires sont 1), faible tirant d'eau, 2) moteur suffisamment puissant pour tirer le chalut et assurer un déplacement rapide entre deux stations de pêche, 3) une bonne tenue à la mer pour la navigation depuis la baie de Somme vers la Baie d'Authie et l'estuaire de la Canche. Il s'agit d'un canot de marque KURUNIG de 6,1m de long : le SEQUOÏA, muni d'un moteur hors-bord de 115 CV (hors-bord). Il est muni d'un petit treuil électrique et d'un poste de pilotage couvert.

Tableau 1 : Identification et principales caractéristiques du moyen nautique employé en 2019 pour les pêches au petit chalut à perche sur les trois estuaires des Hauts de France

Nom	Type	Immatriculation	Longueur	Puissance	Tirant d'eau
SEQUOIA	Canot	SN 840063	6,1 m	74 Kw	0,4 m



Photo 1 : Canot « Séquoïa » de Monsieur F. Montassine employé pour les chalutages au petit chalut à perche dans le cadre du suivi DCEE « poissons » des Hauts de France



Photo 2 : Détail du poste de pilotage entièrement couvert. Ceci permet d'embarquer du matériel informatique qui reste protégé lors de l'enregistrement des traits de chalut.

## 2.2.1 Caractéristiques des engins de pêche

Le cadre métallique du petit chalut d'1,6m a été conçu de façon différente par rapport au modèle proposé par le CEMAGREF. Les cotes essentielles ont été respectées (hauteur sous barre et largeur), mais la forme du patin reprend la forme du celui du CP3m. Cet engin est identique à celui employé par R. Amara lors des études antérieures en Baie de Somme et provient du même fabricant. Suite aux premiers essais (Risle maritime), il s'est avéré nécessaire de renforcer la structure métallique de la perche embarquée sur les canots de pêche professionnels disposant d'un appareillage puissant de remontée du chalut. Le filet a été construit par le fabriquant indiqué par le CEMAGREF en 2006 (P.V.S. dans la région de Royan).



Photo 3 : Chalut à perche de 1,6m. La perche a été renforcée pour l'usage sur des canots professionnels munis d'un dispositif puissant de relevage (hydraulique).



Photo 4 : Modification du bourrelet adoptée sur les deux types de chalut à perche. Réglage pour que la chaine et les bagues travaillent toujours en avant de la corde de ventre..

## 2.2.2 Protocole de pêche

Les positions géographiques sont notées en fin de filage et en début de virage selon le référentiel WGS84. Des positions intermédiaires sont notées lors de traits non rectilignes. La trace précise de chaque trait est enregistrée pour un report cartographique et le calcul de la distance réelle parcourue par trait de chalut.

Les traits sont tous effectués de jour et à contre-courant. L'interruption d'un trait est faite à 15 minutes pour une vitesse constante de 1,5 à 2 nœuds avec le petit chalut. En cas d'interruption forcée pour une durée inférieure à 12 minutes, la position est systématiquement notée et la reprise du trait à l'endroit de l'incident ne peut se faire qu'une seule fois. Si le trait n'est toujours pas validé, alors la position de la traîne est décalée et cette procédure est renouvelée jusqu'à validation du trait pour au moins 12 minutes.

Lorsqu'une croche impose d'interrompre le trait en cours, l'utilisation d'un chronomètre permet de totaliser le temps réel de pêche sur la traîne. Le temps nécessaire pour ramender, enlever les objets indésirables pris dans le filet n'est donc pas compté et dès que possible, le chalutier revient se positionner correctement avant d'entamer la suite de la traîne. Le chronomètre est réenclenché lorsque l'engin est à nouveau posé au fond et le train de pêche bien réglé (vitesse, ajustement de la longueur de fune).

## 2.3 PARAMETRES HYDROLOGIQUES

Le matériel de mesure des conditions hydrologiques est une sonde multiparamètres YSI Pro DS qui enregistre simultanément la température de l'eau, la salinité, la conductivité, l'oxygène dissous et la turbidité. Les mesures sont faites au fond avant chaque trait de chalut. Après avoir touché le fond, la

sonde est remontée d'environ 0,5 m de manière à ne pas induire de perturbations de mesure liées au contact avec le substrat.

## 2.4 TRAITEMENT DES CAPTURES

## 2.4.1 A bord

Lorsque l'on emploie le petit chalut 1,6 m (Lot 1 et option), le tri complet de la pêche n'est pas possible en raison du temps disponible entre les traits de chalut , de la taille des embarcations et de l'absence du minimum d'équipement nécessaire pour effectuer correctement l'ensemble des mesures (poids notamment).

Seul un pré-tri est donc réalisé à bord, destiné à rejeter le volume d'entités indésirables (sédiment, feuilles, coquilles...) et conditionner correctement la collecte des poissons et autres organismes du pélagos (crevettes) ou du macrobenthos (crabes) avant leur tri complet au laboratoire. Seules certaines espèces de taille adulte sont traitées à bord (mulets, flets...) de façon à permettre leur survie.



Photo 5: résultat d'un pré-tri réalisé à bord du Séquoïa avant conditionnement en glacière et congélation

L'application systématique d'un protocole d'anesthésie des poissons n'est pas toujours réalisable, certains poissons pélagiques résistant très peu à la capture tels que les Osméridés (éperlans) ou les Clupéidés (aloses, harengs, anchois...). Le traitement différé des captures avec le petit chalut, qui est impératif pour satisfaire aux objectifs d'échantillonnage, n'offre donc pas beaucoup de possibilités sur ce plan.

## 2.4.2 Au laboratoire

Les identifications, pesées et biométrie sont faites dans la mesure du possible à bord. Il s'avère cependant nécessaire de conditionner les petits individus/espèces pour une identification sous loupe binoculaire et des mesures plus précises.



Photo 6: Fin du tri des échantillons après la pêche, dénombrements, pesées, et mesures des tailles individuelles

Afin d'aboutir à un niveau d'information similaire entre les MET, les petites espèces et les juvéniles font l'objet de mesures des poids individuels quel que soit l'engin de pêche utilisé. Ces mesures sont

faites sur le total capturé ou sur un sous échantillon (représentatif de l'ensemble des captures) si nécessaire, dans la limite de 30 individus par trait. Lorsque le tri de toutes les espèces n'est pas possible sur le terrain, les petites espèces font alors l'objet d'un sous-échantillonnage.

L'échantillon est alors prélevé au hasard au sein des captures totales homogénéisées, desquelles on a préalablement retiré les espèces rares, de manière à ce que le sous-échantillonnage ne s'applique que sur un lot déterminé et connu d'espèces les plus abondantes.

## 2.4.2.1 Identification des espèces

## ■ Pour l'ichtyofaune :

Le cas de gobiidés (poissons de taille généralement petite en estuaire, dont les stades juvéniles présentent de réelles difficultés de détermination) a été abordé de la façon suivante :

Les différentes espèces présentes ont été identifiées sur les stades adultes. Les gobies buhotte (*Pomatoschistus minutus*) et tacheté (*P. microps*) ont été systématiquement identifiés et dénombrés. En dessous de 40mm (longueur à la fourche : Lf), les poissons appartenant à cette famille ne peuvent être tous identifiés avec exactitude. Ils sont regroupés au sein du genre prédominant dans le trait de chalut

S'agissant des juvéniles de Cyprinidés, les individus sont conditionnés dans une solution formolée (ou dans l'alcool) et identifiés au laboratoire sous une loupe binoculaire. Cette dernière est également employée pour l'observation des branchiospines d'aloses.

## ■ Espèces exotiques envahissantes (EEE) :

Des observations sont régulièrement faites en estuaire de Seine (*Palaemon macrodactylus, Eriocheir sinensis* tous deux originaire d'Asie, Ecrevisse américaine et plus récemment du gobie à tâche noire *Gobius Melanostomus* en provenance de l'Europe de l'est). Une attention particulière sera donc apportée à détecter la présence ou non de ces espèces dans nos échantillons, surtout pour les plus difficile à identifier.

## 2.4.2.2 Biométries

Pour l'ichtyofaune, les mesures ont été faites selon les prescriptions de l'IRSTEA pour l'ensemble des campagnes en mesurant la longueur individuelle à la fourche Lf. Pour les crustacés décapodes, seul le crabe chinois est mesuré et pesé individuellement (dans la limite de 40 à 50g en cas de pesée sur le bateau); seuls les effectifs non mesurés et les poids totaux capturés sont notés pour les autres espèces.

## 2.4.2.3 Dénombrement des effectifs

Les effectifs sont standardisés en les ramenant tous à une même unité de pression de pêche. C'est ce que l'on appelle le nombre de Captures Par Unité d'Effort (CPUE). La CPUE est ici rapportée à une surface échantillonnée par le chalut à perche. Cette surface est calculée en multipliant la largeur du chalut par la distance parcourue sur chaque trait (relevée au GPS en fin de filage et début de virage).

## 3. Résultats

## 3.1 CALENDRIER DES PECHES

Le calendrier de la campagne d'automne 2019 s'insère dans la période théorique définie dans le cadre du protocole standardisé (de la mi-septembre au 10 novembre). Les prélèvements s'échelonnent sur 7 jours de vive-eau compris entre le 14 et le 20 septembre inclus (Tableau 2). La campagne a débuté par la prospection de la baie d'Authie les 14 et 15 septembre (coefficient 82-85), suivie par la baie de Canche les 16 et 17 septembre (coefficients 85 et 83). La Baie de Somme a été prospectée en fin de vive eau les 18, 19 et 20 septembre (coefficients descendants de 79 à 63).

Mois/Da			Aut Coef.		Coef.	nche	Coef.	mme
			marée	Nb traits	marée	Nb traits	marée	Nb traits
	S	14	82	6				
	D	15	85	6				
	L	16			85	6		
sept-19	M	17			83	0		
	M	18					79	8
	J	19					72	8
	V	20					63	7

Tableau 2 : Calendrier récapitulatif des dates des inventaires de l'ichtyofaune réalisés lors de la campagne d'automne 2019 sur les trois masses d'eau de transition des Hauts de France dans le cadre de la DCEE. Le nombre de traits réalisés par jour est indiqué pour chaque masse d'eau

## 3.2 CARACTERISTIQUES GENERALES

A l'exception des chenaux principaux associés au débouché des fleuves en mer, les habitats suivis sont totalement exondés à basse mer sur chaque site. Les pêches se déroulent ± 1,5 heures autour de la pleine mer en baie de Somme, et ± 1 heure autour de la pleine mer en baie d'Authie et en baie de Canche.

Le nombre de stations de pêche dépend de la surface totale de chaque site, ce qui justifie que la Baie de Somme fasse l'objet du double de nombre de stations (23-24 stations) comparativement à la baie d'Authie et la baie de Canche (12 stations chacune). Le nombre de prélèvements réalisé sur chaque site est conforme aux prévisions et aux travaux antérieurs.

Le schorre de la baie de Somme est caractérisé par des chenaux de marée dont les dimensions permettent l'accès au moyen nautique. Ce type d'habitat est échantillonné pour la première fois avec un chalut à perche, ce qui accroît de façon évidente la pertinence de l'échantillonnage (meilleure couverture des habitats présents) et par conséquent celle des résultats obtenus.

Trait commun aux trois systèmes, les faibles apports d'eau douce (< 30 m³.s-¹) engendrent l'oscillation de masses d'eau typiquement marines en lien avec la marée. La salinité mesurée avant chaque trait caractérise presque partout les domaines euhalins à polyhalins, tandis que l'eau douce est coincée à l'amont dans le lit du fleuve et dans le schorre adjacent lorsque la configuration le permet (baie de Somme).

## 3.3 LA BAIE DE SOMME

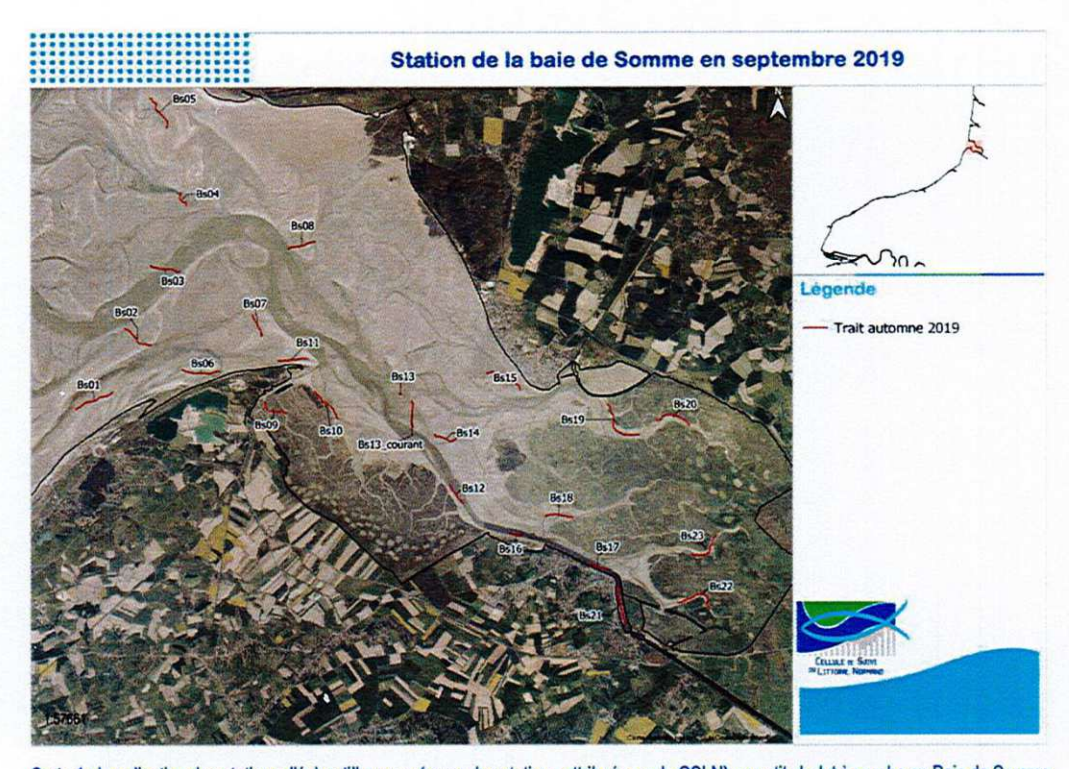
## 3.3.1 Organisation de l'échantillonnage

La campagne d'automne 2019 comprend (comme celle de printemps) 23 traits de chaluts répartis sur 23 stations, toutes en domaine intertidal à l'intérieur d'une ligne joignant la flèche du Hourdel au sud (phare de Brighton) et la Pointe de Saint Quentin au nord. Les prélèvements se répartissent lors de chaque pleine mer de façon à couvrir à la fois les zones centrales et les zones latérales moins profondes.

La première marée comprend 7 traits validés localisés surtout dans le secteur le plus externe entre Brighton et La pointe de St Quentin et au niveau du schorre en rive sud de la baie (Tableau 3). Le départ a lieu au Hourdel juste après l'arrivée du flot. Les premiers traits sont donc réalisés lors des courants de flot les plus élevés, surtout dans le chenal de la Somme. Afin de ne pas prendre le risque que le chalut décolle du fond dans de telles conditions, la vitesse sur le fond est réduite à 1-1,5 nœuds, ce qui explique la moindre distance parcourue (e.g. station BS04).

La seconde journée (8 traits validés) est consacrée à la prospection des stations entre la pointe du Hourdel et le débouché de la Maye, auxquelles s'ajoutent celles avoisinant Le Crotoy. La troisième « pleine mer » est consacrée à la partie interne au niveau de Saint Valery/Somme.

A l'exception de 2 stations (durée limitée en raison de risque d'échouage), tous les traits ont une durée de 15 minutes, conforme au protocole. La distance moyenne parcourue est de 539 ± 162 m, relativement faible et en lien avec la vitesse de chalutage (réduite lors du pic de courant de marée). L'absence de sondeur à bord n'a pas permis un enregistrement systématique de la hauteur de la colonne d'eau au moment de la réalisation de chaque trait.



Carte 1 : Localisation des stations d'échantillonnage (noms des stations attribués par la CSLN) au petit chalut à perche en Baie de Somme lors de la campagne d'automne 2019



Photo 7 : Vue générale de la Baie de Somme à partir de la chapelle des marins à Saint-Valery

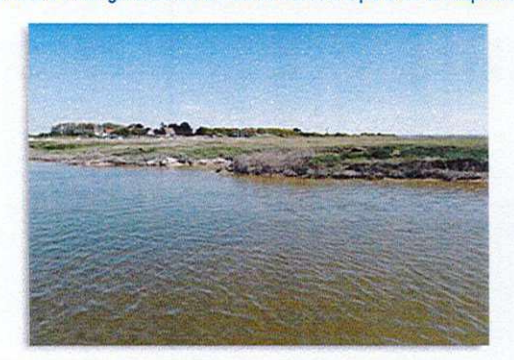


Photo 8 : pêche dans la filandre au sud du Hourdel



Photo 9 : chalutage au niveau du Crotoy. Remarquer la couleur de l'eau, révélant une faible turbidité à pleine mer (automne 2019)

## 3.3.2 Conditions hydrologiques

La salinité reflète clairement la prédominance de la masse d'eau marine sur les apports d'eau douce dont l'influence est circonscrite au fond de baie (schorre) et au port de St Valery (Figure 1). Le domaine mésohalin est très réduit sur le plan spatial. Le flot coince les eaux de la Somme dans le port de Saint Valery jusqu'à la pleine mer (0,4 sur la station BS21). Ce moment de la marée induit visiblement une migration vers l'amont des eaux dessalées du chenal à basse mer, phénomène qui expliquerait les faibles salinités mesurées dans les filandres (4,4 à 15,6) du fond de baie juste au nord du port de Saint Valery (respectivement stations BS22 et BS23).

Les conditions thermiques relevées indiquent (Tableau 3 & Figure 1) l'inversion thermique automnale, avec une masse d'eau estuarienne désormais plus chaude que les eaux fluviales (contrairement à la campagne de printemps). Les valeurs les plus élevées correspondent en effet aux eaux marines en front externe de baie (18,0 à 18,4°C) tandis que celles des eaux douces est plus fraiche dans le port de St Valery ou débouche la Somme (16,0 °C).

Les conditions d'oxygénation de l'eau sont bonnes, avec un taux moyen de saturation de 108 %.

La turbidité moyenne (13 ±9 NTU) est très faible, en lien probable avec l'orientation des vents de secteur Nord à Nord-est. L'effet de la houle est absent ce jour-là du fait des faibles conditions de vent. Les valeurs maximales sont par conséquent plus associées à l'intensité du courant de marée et à son effet sur la remobilisation des sédiments fins, notamment dans la partie interne de la baie.

Tableau 3 : Principales caractéristiques des traits de chalut à perche réalisés en baie de Somme lors de la campagne d'automne 2019 de suivi DCE « poissons »

	Coef			Durée	Longueur	Prof.	Temp.		Oxygène	Turbidité	Cond.
Date/heure	marée	Station	Marée	(min)	du trait (m)	(m)	(°C)	Salinité	dissout (%)	(NTU)	(µS/cm)
18/09/2019 13:29		BS04	Flot	15	284	nd	18,3	33,8	100	8,5	44716
18/09/2019 13:53		BS05	Flot	15	641	nd	18,4	33,8	104	6,3	44874
18/09/2019 14:24		BS03	Flot	15	519	nd	18,2	33,7	103	4,7	44548
18/09/2019 14:48	79	BS02	Flot	15	572	nd	18,2	33,3	100	9	44076
18/09/2019 15:13		BS01	PM	15	706	nd	18,2	32,9	100	7,5	43621
18/09/2019 15:42		BS09	Jusant	15	465	nd	18	30,2	109	20	40403
18/09/2019 16:09		BS10	Jusant	15	646	nd	18,2	31,6	109	15	42099
18/09/2019 16:35		BS13	Jusant	15	447	nd	18,3	33,4	107	20	44346
19/09/2019 14:10		BS06	Flot	15	635	nd	17,4	32,7	108	13	42601
19/09/2019 14:34		BS07	Flot	15	391	nd	17,8	33,5	105	9	43877
19/09/2019 14:57		BS08	Flot	15	472	nd	17,8	33,8	112	7,75	44294
19/09/2019 15:25	72	BS15	Flot	15	649	nd	17,9	31,6	115	7,5	41824
19/09/2019 15:53		BS20	PM	15	648	nd	17,5	24,6	109	30	33047
19/09/2019 16:15		BS19	Jusant	15	901	nd	17,7	29,2	117	11	37746
19/09/2019 16:38		BS14	Jusant	15	494	nd	17,9	33,4	109	5	43951
19/09/2019 17:03		BS11bis	Jusant	12	487	nd	17,7	32,6	108	8	42782
20/09/2019 14:44		BS16	Flot	15	223	nd	16,2	1,6	100	40	2463
20/09/2019 15:06		BS12	Flot	15	384	nd	16,7	25,9	117	20	34134
20/09/2019 15:39	63	BS17	Flot	15	317	nd	16,7	20,4	113	20	27475
20/09/2019 16:10		BS21	Flot	15	644	nd	16	0,4	104	1,2	608
20/09/2019 16:36		BS22	PM	15	769	nd	16,8	4,43	109	10	6744
20/09/2019 17:01		BS23	Jusant	15	628	nd	16,8	15,6	118	11	21420
20/09/2019 17:28		BS18	Jusant	10	468	nd	16,9	25,2	120	13	33211
Moyenne Somme				- 15	539		17,5	26,4	108	13	34994
Ecarl type				1,2	162						14002

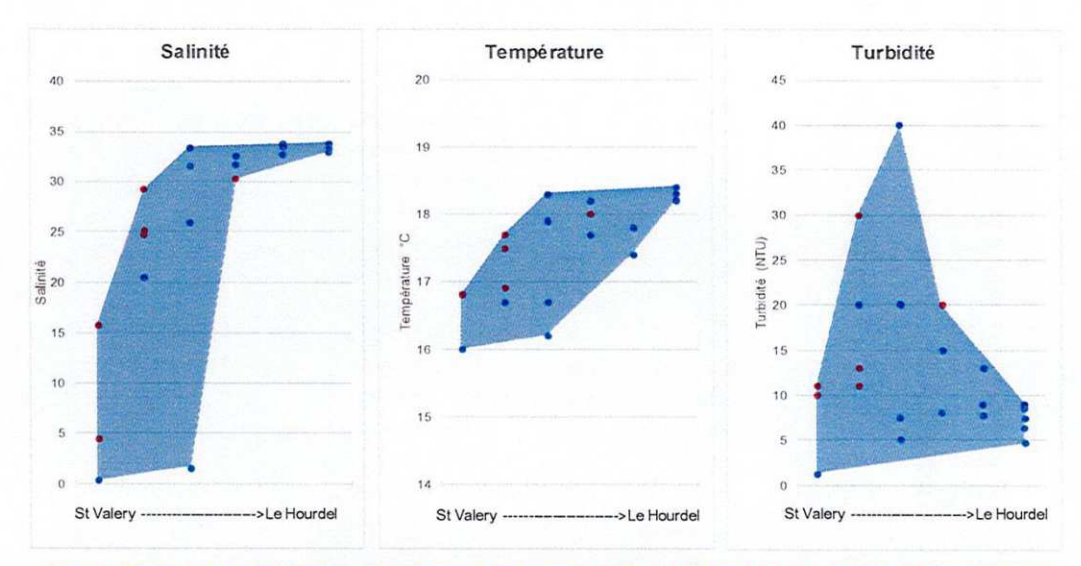
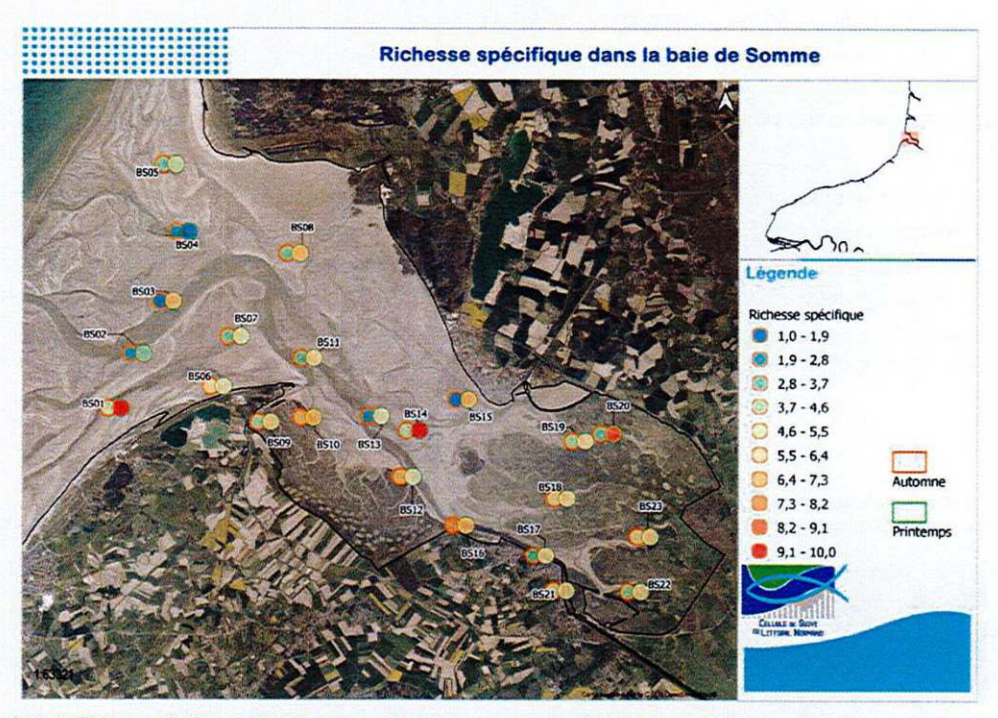


Figure 1 : Evolution longitudinale des paramètres hydrologiques mesurés en Baie de Somme lors de la campagne d'automne 2019. Les points rouges figurent les mesures dans les filandres du schorre. La trame colorée figure la variabilité des valeurs pour des distances similaires des traits de pêche par rapport au point d'origine : le port de Saint Valery

## 3.3.3 Description succincte des assemblages d'espèces

La liste faunistique issue des 23 traits de chalut de la campagne d'automne 2019 (Voir Annexes) se compose de 15 espèces de poissons, auxquels s'ajoutent 6 taxons de crustacés décapodes. La richesse moyenne de l'ichtyofaune par station de pêche est de 4 ± 2 taxons (Carte 2).

L'ensemble du cortège d'espèces de poissons est toujours largement dominé par les poissons marins (10 espèces) auxquelles s'ajoutent les groupes moins diversifiés que sont les résidents estuariens et des migrateurs amphihalins (anadromes/catadromes). Les espèces dulçaquicoles sont absentes.



Carte 2 : Richesse spécifique de l'ichtyofaune lors des deux campagnes de pêche de l'année 2019.

## 3.3.3.1 Fréquence d'occurrence

Une seule espèce est constante (Fo > 75%), le gobie tacheté (Tableau 4). Le sprat est commun (50% < Fo < 75%) et les poissons occasionnels (25% < Fo < 50%) sont le bar, le gobie buhotte et le hareng. Toutes les autres espèces de poissons sont rares à exceptionnelles.

Les crustacés les plus fréquents sont la crevette grise et le crabe vert (constants). Le bouquet commun est observé dans 43% des échantillons, résultat normal à cette saison. La chevrette (*P. elegans*), la crevette blanche (*P. longirostris*) et l'étrille élégante sont rares à exceptionnelles.

## 3.3.3.2 Abondances

Les Captures Par Unité d'Effort (CPUE) sont exprimées en nombre d'ind.ha-1 et en poids frais en gramme.ha-1. Les CPUE moyennes de l'ichtyofaune sont respectivement de 3435 ± 6547 ind.ha-1 et de 2634 ± 4195 g.ha-1. Comme au printemps, les plus fortes concentrations se rapportent au gobie tacheté qui structure à lui seul 72% des CPUE numériques et 54% des CPUE pondérales. En fin d'été c'est le sprat qui se place au second rang (respectivement 18% et 16% de contribution aux CPUE numériques et pondérales), suivi par le hareng (respectivement 6% et 17% pour les deux mêmes descripteurs).

S'agissant de la carcinofaune, les CPUE moyennes sont de 13 127  $\pm$  19 673 ind.ha<sup>-1</sup> et de 29 405  $\pm$  59 631 g.ha<sup>-1</sup>. Le crabe vert représente 82% de la biomasse totale, mais ne structure que 8% des

effectifs. Ces derniers sont largement dominés par la crevette grise, qui représente 91% des CPUE numériques pour une contribution de 18% aux CPUE pondérales.

Tableau 4 : Fréquence d'occurrence et composition du cortège de poissons (pour les espèces qui représentent 99,5% des effectifs capturés) et de crustacés lors de la campagne d'automne 2019 en baie de Somme

Nom vernaculaire	Nom scientifique	Guilde	Occurrence	CPUE (ni.ha¹)	Biomass (poids g.ha
Gobie tacheté	Pomatoschistus microps	ER	83%	72%	54%
Sprat	Sprattus sprattus	MMO	57%	18%	16%
Hareng	Clupea harengus	MMD	48%	6%	17%
Gobie buhotte	Pomatoschistus minutus	MMD	30%	2%	3%
Bar	Dicentrarchus labrax	MMD	39%	1%	5%
Syngnathe de Duméril	Syngnathus rostellatus	ER	22%	0,4%	1%
Athérine	Atherina presbyter	MMO	26%	0,2%	1%
Lançon équille	Ammodytes tobianus	MMO	22%	0,2%	0,2%
Crevette grise	Crangon crangon		100%	91%	18%
Crabe vert	Carcinus maenas		96%	8%	82%
Bouquet	Palaemon serratus		43%	1%	0,3%
Crevette blanche	Palaemon longirostris		9%	0,4%	0,1%
Bouquet flaque/chevrette	Palaemon elegans		4%	0,0%	0,0%
Etrille élégante	Portumnus latipes		4%	0.0%	0.0%

## 3.3.3.3 Répartition spatiale

La partie la plus ouverte de la baie fait l'objet des abondances numériques de poissons les plus faibles (121 ±121 ind.ha<sup>-1</sup>), à l'ouest d'une ligne joignant Le Hourdel au débouché de la Maye (Carte 3). Les CPUE augmentent vers l'intérieur de la baie pour atteindre jusqu'à 4 500 poissons.ha<sup>-1</sup> et environ 50 000 crustacés.ha<sup>-1</sup> (essentiellement de la crevette grise) dans le chenal de la Somme au niveau de St Valery (Figure 2).

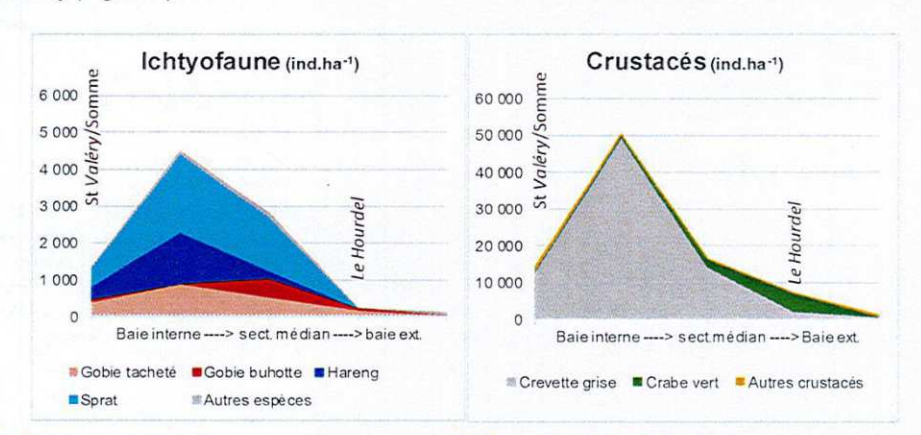


Figure 2 : Evolution longitudinale d'amont en aval des moyennes de CPUE numérique (ind.ha-1) dans les chenaux du prisme sableux (hors schorre)

C'est à nouveau dans les filandres du schorre que les valeurs maximales sont observées (Figure 3), avec jusqu'à 28 508 ind.ha-1 dans la filandre au sud du Hourdel. Le gobie tacheté y est largement dominant et nettement plus abondant dans ce type d'habitat que dans les chenaux du prisme sableux central (Figure 3, Carte 4).

Le bar présente lui aussi une affinité vis-à-vis des filandres, tandis que le hareng mais surtout le gobie buhotte privilégient les chenaux principaux (Carte 5).

Les distributions spatio-temporelles du sprat sont distinctes de celles du hareng (Carte 6). Ce clupéidé est quasiment absent au printemps et l'arrivée de la nouvelle cohorte est plus tardive que celle du hareng, phénomène déjà observé dans les estuaires normands. En baie de Somme, les jeunes se concentrent en fond de baie en fin d'été dans tous les chenaux tidaux.

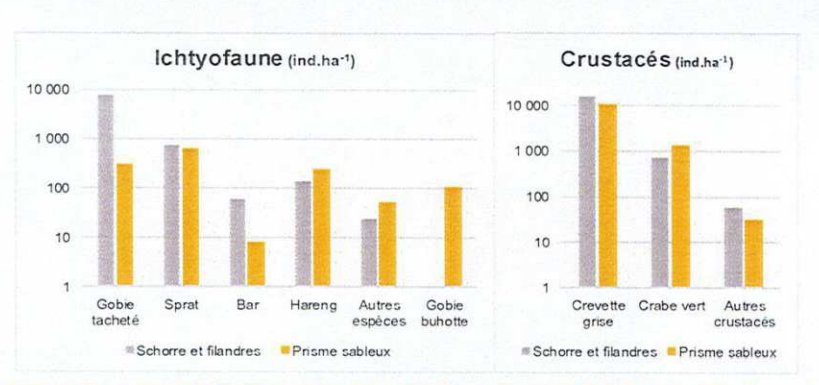
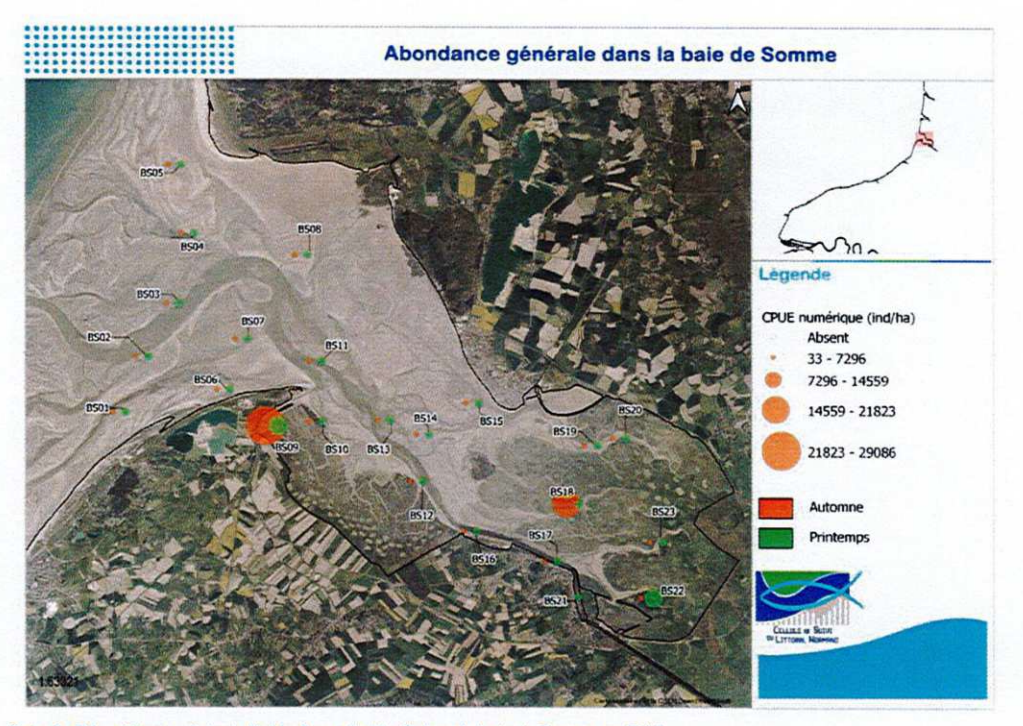
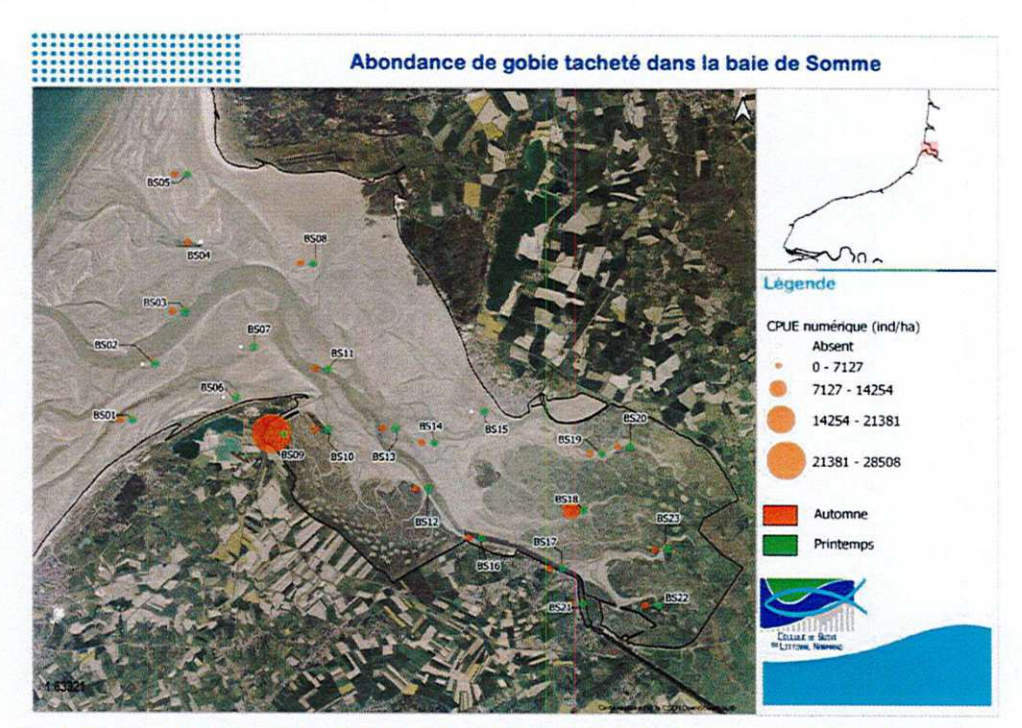


Figure 3 : Comparaison des moyenne de CPUE numérique (ind.ha-¹) entre les deux types d'habitats échantillonnés pour les principales espèces de poissons (à gauche) et de crustacés (à droite)

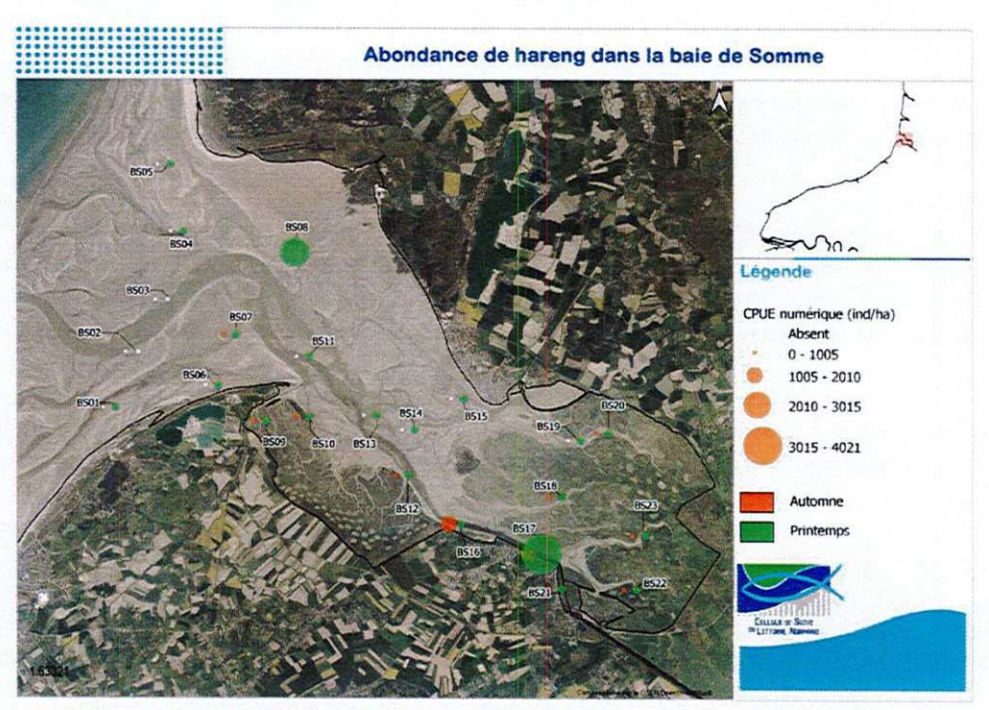
S'agissant de la crevette grise (Carte 7), l'espèce privilégie le fond de baie, où les concentrations en automne ( $20.515 \pm 22.482 \text{ ind.ha}^{-1}$ ) sont nettement supérieures à celles du prisme sableux externe ( $659 \pm 547 \text{ ind.ha}^{-1}$ ). En fond de baie, les CPUE numériques peuvent atteindre plus de  $60.000 \text{ ind.ha}^{-1}$  dans les filandres du schorre (station BS22) et dans le chenal de la Somme (station BS17). Le crabe vert présente une grand variabilité d'abondance surtout dans les chenaux principaux. Dans les filandres, les valeurs sont à peine inférieures ( $717 \pm 457 \text{ ind.ha}^{-1}$ ) à celles du prisme sableux ( $1.262 \pm 2.453 \text{ ind.ha}^{-1}$ ).



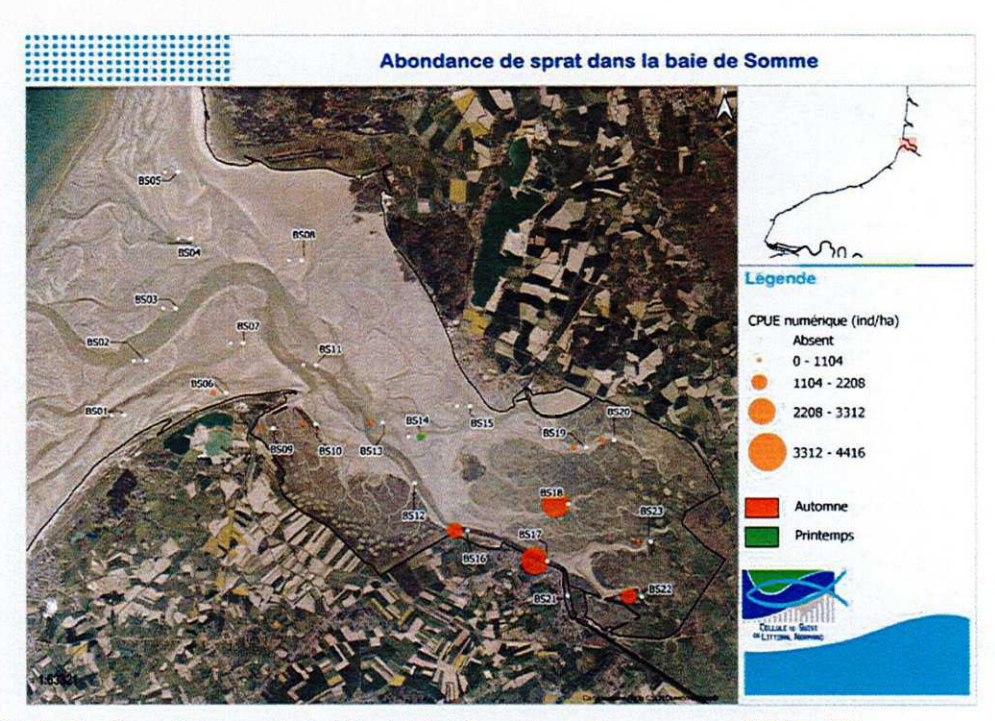
Carte 3 : Répartition spatiale de l'ichtyofaune (ind.ha-1) dans la baie de Somme en 2019



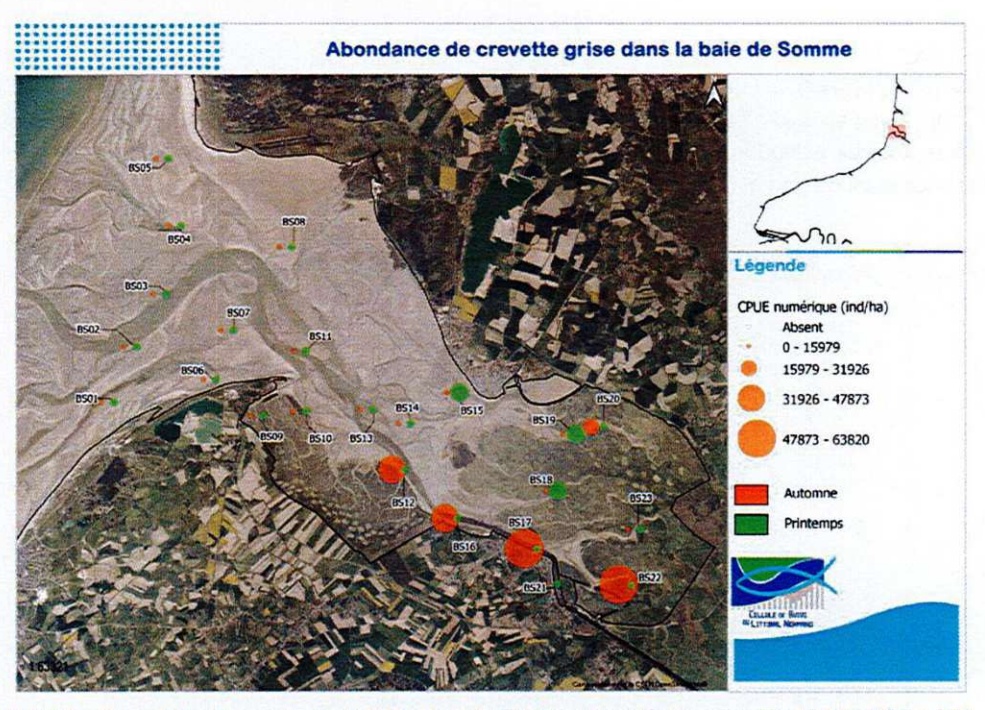
Carte 4 : Répartition spatiale du gobie tacheté (ind.ha-1) dans la Baie de Somme lors des deux campagnes de suivi DCE en 2019



Carte 5 : Répartition spatiale du hareng (ind.ha-1) dans la baie de Somme lors des 2 campagnes de suivi DCE en 2019



Carte 6 : Répartition spatiale du sprat (ind.ha-1) dans la baie de Somme lors des 2 campagnes de suivi DCE en 2019



Carte 7 : Répartition spatiale de la crevette grise (ind.ha-1) dans la baie de Somme lors des deux campagnes de pêche DCE en 2019

Concernant les crustacés, la CPUE moyenne du crabe vert est de 648 ± 717 ind.ha-1. L'espèce est plutôt associée aux chenaux principaux et à la proximité du schorre, avec des concentrations qui

atteignent 1500 à 2500 ind.ha<sup>-1</sup>. La crevette grise (juvénile) est quant à elle franchement associée au fond de baie et aux filandres, avec plus de 20 000 ind.ha<sup>-1</sup> sur les stations BS18 et BS19 (Carte 7).

## 3.3.3.4 Structure en taille de poissons

La taille moyenne des poissons est de 42,5mm (sans évolution par rapport à la campagne de printemps), indiquant toujours la dominance des petites espèces (e.g. gobies) et stades juvéniles (Tableau 5 & Figure 4). A l'exception du syngnathe, de l'athérine et de la lamproie fluviatile; les spectres de tailles des autres espèces indiquent des effectifs majoritairement ou exclusivement constitués de jeunes individus nés en 2019 (groupe 0).

Parmi les poissons plats, la plie et le flet sont les deux espèces dont le recrutement annuel de 2019 est clairement identifié au regard des histogrammes. La taille moyenne des plies G0 est de 82 mm, celle du flet du même groupe étant comprise entre 40 et 80 mm.

Parmi les clupéidés, le sprat peut devenir au cours de l'été l'espèce prépondérante, en lien avec le recrutement plus tardif de l'espèce en comparaison avec celui du hareng, dont le pic saisonnier d'arrivée des jeunes G0 est plus précoce. En effet les jeunes harengs nés en 2019 ont atteints 66 mm à la mi-septembre, alors que la taille moyenne des sprat (G0), absents en juin, n'est que de 45 mmm en fin d'été.

L'échantillon de bar se compose quant à lui d'individus de moins d'un an (< 90mm, nés en 2019) à un an (nés en 2018), le recrutement annuel n'étant généralement observé qu'au cours de l'été au niveau des côtes de la Manche.

Tableau 5 : Effectifs, tailles moyennes, min et max des poissons mesurés en Baie de Somme lors de la campagne d'automne 2019

Taxons	N mesurés	Lf moy. (mm)	min	max
Ammodytes tobianus	6	73,3	58	80
Atherina presbyter	15	76,2	68	84
Ciliata mustela	4	103,5	78	141
Clupea harengus	172	66,1	50	87
Dicentrarchus labrax	43	73,9	35	118
Engraulis encrasicolus	2	55,5	50	61
Lampetra fluviatilis	1	310,0	310	310
Liza ramada	1	28,0	28	28
Platichthys flesus	6	93,2	42	154
Pleuronectes platessa	6	81,8	70	90
Pomatoschistus microps	406	35,9	16	50
Pomatoschistus minutus	47	48,1	35	72
Scophthalmus rhombus	2	62,0	45	79
Sprattus sprattus	259	45,4	30	95
Syngnathus rostellatus	18	134,1	73	184
Total général	1276	42,5	17	

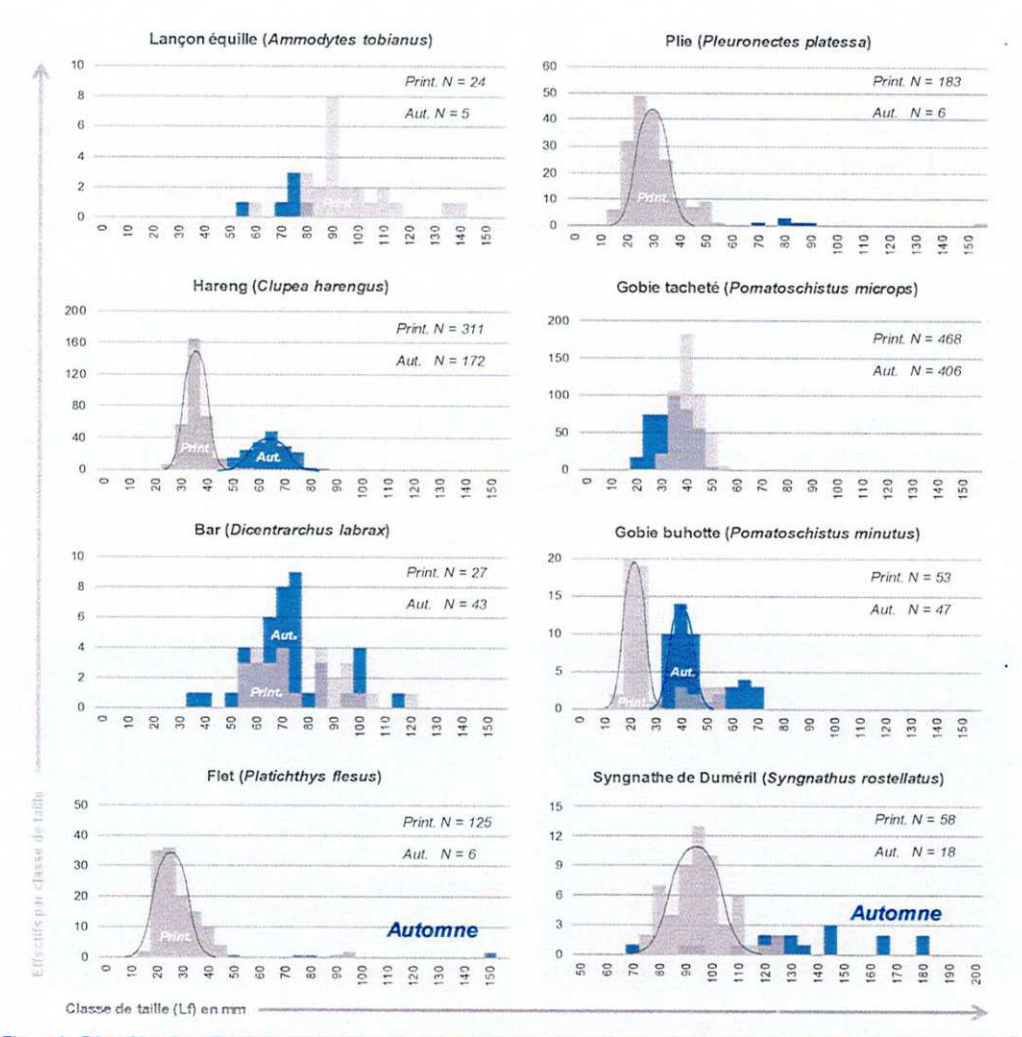


Figure 4 : Répartition des effectifs (ordonnées) en classes de taille (abscisse - Lf en mm) des principaux poissons capturés en baie de Somme au chalut à perche (CP1,6 m, maillage de 5 mm noeud à noeud) au cours des campagne de printemps (beige) et automne (bleu) 2019. Les courbes en cloche sont purement indicatives

## **EN RESUME:**

- En baie de Somme, la campagne d'automne 2019 est moins diversifiée en poissons (15 espèces) que celle de printemps (20 espèces). A l'inverse, les crustacés décapodes sont plus diversifiés en fin d'été, avec une fréquence accrue du bouquet commun (P. serratus).
- En augmentation par rapport à la campagne de printemps, les CPUE moyennes en automne de l'ichtyofaune sont respectivement de 3 435 ± 6 547 ind.ha-1 et de 2 364 ± 4 195 g.ha-1. Les plus fortes concentrations d'effectifs se rapportent au gobie tacheté qui structure à lui seul 72 % des CPUE numériques et 54 % des CPUE pondérales.
- Les concentrations maximales de poissons et de crustacés s'observent lors de cette campagne dans la partie interne de la baie et dans les filandres du schorre, avec respectivement jusqu'à 29 086 ind.ha-1 pour les poissons et 63 819 ind.ha-1 pour la crevette grise, principale espèce de crustacé.
- La taille moyenne des poissons est de 42,5mm, indiquant globalement la dominance des petites espèces (e.g. gobies) et stades juvéniles. Certaines espèces font un séjour assez fugace sur le site comme la plie et le flet.

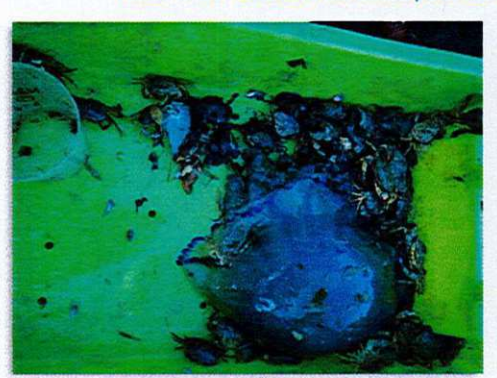
## 3.4 BAIE D'AUTHIE (TRANCHE CONDITIONNELLE)

Le balisage du chenal n'est présent en Baie d'Authie que dans la partie externe, au sud de Berck/Mer où des espars indiquent la présence de digue.





Photos 10 & 11 : Etat de la mer dans la partie externe de la baie lors de la pêche de septembre 2019



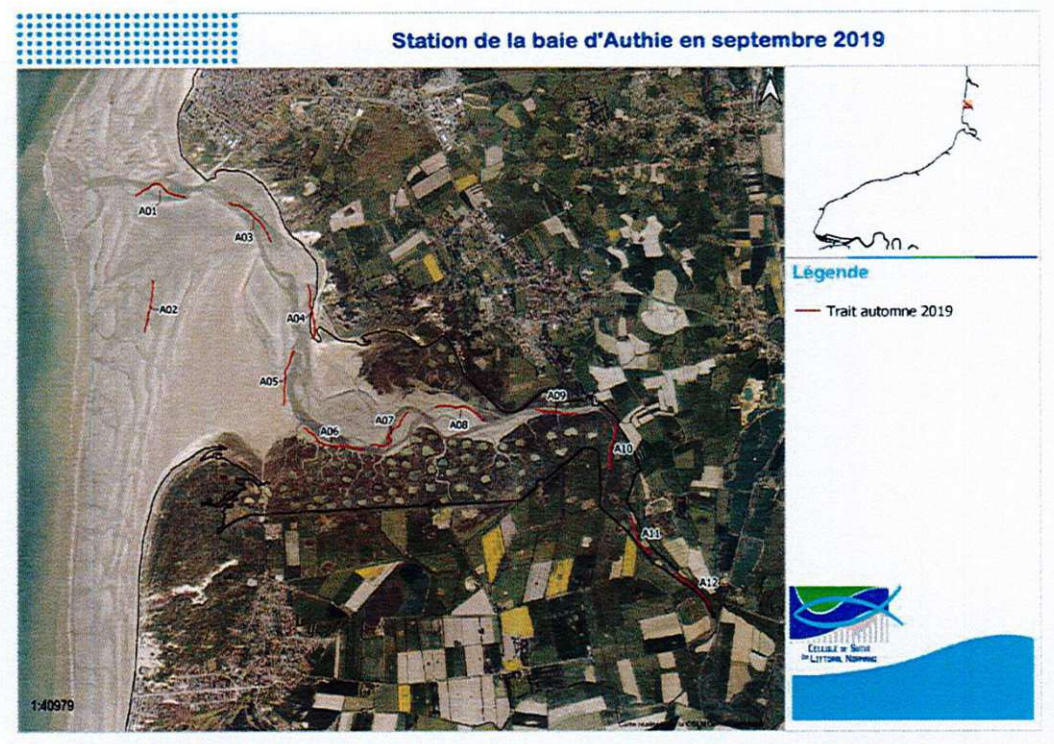


Photos 12 & 13 : Exemple de contenu de la pêche et de chalutage dans la partie en amont de la Madelon

## 3.4.1 Organisation de l'échantillonnage

Afin d'assurer une efficacité optimale de l'échantillonnage durant le temps réduit de la pleine mer, le trajet à parcourir est réparti selon la stratégie suivante : la première marée a couvert la partie médiane à interne, avec un total de 7 traits validés, répartis entre le flot et le jusant (pas de tenue du plein sur ces sites). La seconde marée a couvert la zone centrale à externe, en complétant le maillage des points de chalutage entre les pôles aval et amont et en ajoutant 6 traits de chalut (Carte 8 et Tableau 6). Les eaux dessalées sont spatialement très restreintes et les valeurs évoluent rapidement au cours de la marée.

A l'exception d'un trait (station A11, 13 minutes du fait d'une croche), tous les autres ont une durée de 15 minutes. La distance moyenne parcourue (635 ± 89 m par trait), légèrement supérieure à celle de la Baie de Somme. La profondeur moyenne est de 3,6 ± 1 m, alors que l'amplitude est de 4 m entre le secteur le plus profond dans le chenal en débouché de baie (A1) et la moindre colonne d'eau des traits de fond de baie au jusant (A08). La moindre taille des filandres explique l'absence de prospection en bateau.



Carte 8 : Localisation des traits de chalut à perche (noms des stations attribués par la CSLN) en baie d'Authie lors de la campagne d'automne 2019

## 3.4.2 Conditions hydrologiques

Comme en baie de Somme, la salinité reflète clairement la prédominance de la masse d'eau marine sur les apports d'eau douce dont l'influence est à nouveau réduite au fond de baie (Figure 5). Le domaine mésohalin est très réduit sur le plan spatio-temporel. Le flot coince les eaux de l'Authie en amont de La Madelon au moment de la pleine mer.

Le gradient thermique est similaire a celui observé en baie de Somme, avec des eaux douces plus fraiches (16,1 °C) que les eaux marines (18,5°C). Les conditions d'oxygénation de l'eau sont bonnes, avec un taux moyen de saturation de 97 %, sans évolution particulière sur le plan spatial.

Les turbidités sont similaires à celles de la Baie de Somme, comprises entre 6 et 35 NTU, caractéristique d'eaux claires, souvent observées par vent de secteur Les valeurs maximales sont vraisemblablement associées à l'intensité du courant de marée et à son effet sur la remobilisation des sédiments les plus fins de la partie interne abritée.

Tableau 6 : Principales caractéristiques des traits de chalut effectués en baie d'Authie lors de la campagne d'automne 2019

Date/heure	Coef marée	Station	Marée	Durée (min)	Distance par trait (m)	Prof. (m)	Temp.	Salinité	Oxygène dissous (%)	Turbidité (NTU)	Cond. (µS/cm)
14/09/2019 12:26		A06	Flot	15	780	2,8	18,1	32,8	92	35	43043
14/09/2019 12:52		A05	Flot	15	667	3,4	18,2	33,2	95	20	43935
14/09/2019 13:27	82	A10	Flot	15	544	3,0	17,5	26,1	98	25	34873
14/09/2019 13:57	02	A11	Jusant	13	511	4,5	16,9	16,4	95	15	22983
14/09/2019 14:26		A12	Jusant	15	587	2,9	16,1	3,6	89	15	5249
14/09/2019 15:06		A09	Jusant	15	487	1,8	17,8	26,9	99	20	36129
15/09/2019 13:00		A01	Flot	15	688	6,2	18,5	33,7	100	8	44527
15/09/2019 13:24	85	A02	Flot	15	624	5,1	18,5	33,5	102	6	44313
15/09/2019 13:52		A03	Flot	15	711	5,6	18,2	33,6	103	9	44241
15/09/2019 14:17		A04	Jusant	15	662	4,1	17,9	33,8	99	10	44622
15/09/2019 14:48		A07	Jusant	15	719	2,4	17,8	32,9	95	20	43133
15/09/2019 15:12		A08	Jusant	15	638	2,1	17,7	30,0	94	15	39381
Moyenne Authie					635	3,6	17,8	28,0	97	17	37202
Ecart type				0,6			0,7		4		11901

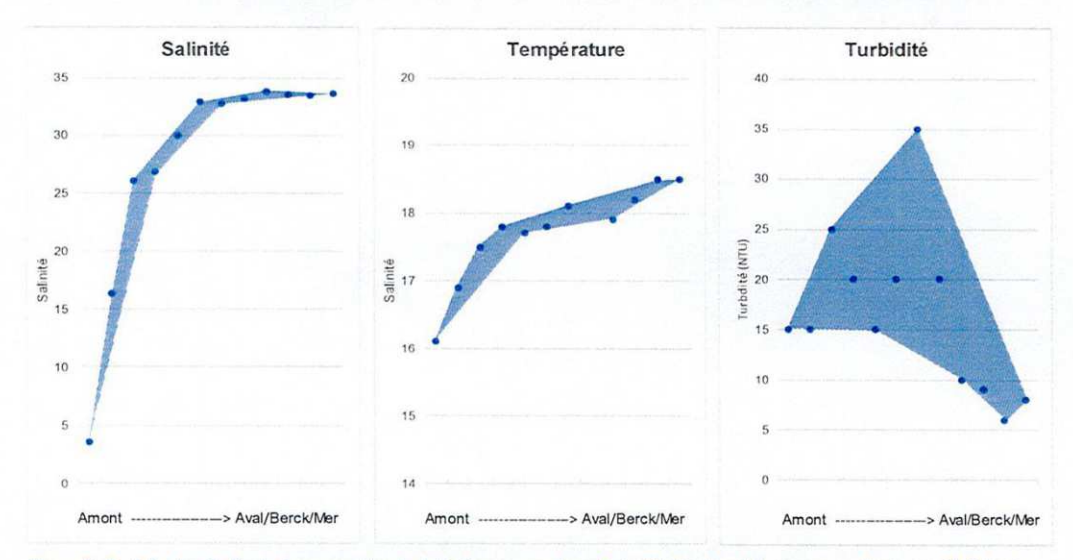


Figure 5 : Evolution longitudinale des paramètres hydrologiques mesurés en Baie d'Authie lors de la campagne d'automne 2019. La trame figure la variabilité des valeurs pour des distances similaires sur le plan longitudinal

## 3.4.3 Description succincte des assemblages d'espèces

La liste faunistique issue des 12 traits de chalut de la campagne d'automne 2019 (Voir Annexes) se compose de 15 espèces de poissons (9 au printemps), auxquels s'ajoutent 5 taxons de crustacés décapodes. La richesse moyenne de l'ichtyofaune est de 4,3 ± 2,2 taxons par station de pêche. Le groupe des poissons marins reste le principal contributeur de la richesse totale de l'ichtyofaune, légèrement plus diversifié (11 espèces) qu'en baie de Somme à cette saison (10 espèces) alors qu'il l'était bien moins au printemps. Les espèces amphihalines sont le flet et l'anguille, présentes seulement en fond de baie (flet) voire uniquement en eau douce (anguille). Le seul poisson typiquement résident est le gobie tacheté. Les espèces dulçaquicoles sont absentes.

## 3.4.3.1 Fréquence d'occurrence

La seule espèce constante est le gobie tacheté (Fo > 92%), les espèces communes étant le flet, le hareng et le lançon équille (Fo = 50%). Toutes les autres espèces sont occasionnelles à rares, notamment les poissons marins (grondin, petite vive, anchois, chinchard) observées une seule fois (Tableau 7).

Tableau 7 : Fréquence d'occurrence et contribution (%) des espèces au total des CPUE (numériques et pondérales) pour chacun des deux groupes faunistiques échantillonnés en Baie d'Authie lors de la campagne d'automne 2019

	Nom vernaculaire	Nom scientifique	Guilde	Occurrence	CPUE (ni.ha <sup>-1</sup> )	Biomasse {poids g.ha <sup>-1</sup>
	Gobie tacheté	Pomatoschistus microps	ER	92%	55%	16%
	Flet	Platichthys flesus	CAT/ANA	50%	19%	49%
	Gobie buhotte	Pomatoschistus minutus	MMD	17%	12%	4%
thyofaum	Hareng	Clupea harengus	MMD	50%	5%	7%
	Lançon équille	Ammodytes tobianus	MMO	50%	3%	4%
	Bar	Dicentrarchus labrax	MMD	42%	2,1%	6%
	Anguille	Anguilla anguilla	CAT/ANA	17%	1,1%	6%
	Plie	Pleuronectes platessa	MMO	42%	1,0%	5%
	Athérine	Atherina presbyter	MMO	17%	0,5%	1,6%
	Crevette grise	Crangon crangon		100%	87%	18%
9	Crabe vert	Carcinus maenas		100%	13%	82%
200	Bouquet flaque/chevrette	Palaemon elegans		25%	0,2%	0,1%
N	Crabe chinois	Eriocheir sinensis		17%	0,0%	0,0%
	Crabe nd	Hemigrapsus		8%	0.0%	0.0%

## 3.4.3.2 Abondances

Les CPUE numériques de l'ichtyofaune varient entre 35 et 2034 ind.ha-1, avec une moyenne de 740 ± 687 ind.ha-1. Le principal contributeur aux effectifs est, comme en baie de Somme le gobie tacheté (55% du total des CPUE), associé au flet (19%) et au gobie buhotte (12% du total des CPUE). La biomasse moyenne de l'ichtyofaune par station est de 1 221 ± 1 056 g.ha-1. S'agissant de la carcinofaune, la biomasse moyenne (19 269 ± 16 471 g.ha-1) est nettement supérieure à celle évaluée au printemps (401 ± 392 g.ha-1). Le crabe vert représente à nouveau l'essentiel de la biomasse (82%), les effectifs étant quant à eux toujours largement dominés par la crevette grise (87%).

## 3.4.3.3 Répartition spatiale

Le secteur de l'embouchure est moins peuplé que la partie interne de la baie, phénomène déjà observé par les auteurs des études antérieures (voir suivi de Selleslagh et Amara entre 2013 et 2015).

## 3.4.3.4 Structure en taille

Les espèces communes reflètent globalement les mêmes constats qu'en baie de Somme : la baie d'Authie continue à cette saison à être colonisée par des populations juvéniles essentiellement résidentes (gobie tacheté) et d'origine marine (Tableau 8 & Figure 6).

Les structures en taille sont globalement semblables à celles observées en baie de Somme pour le hareng, les gobies, le bar et la plie. Les lançons présentent quelques individus plus âgés que ceux issus de la baie de Somme. Sur ce site, le flet est devenu rare en automne, alors que les effectifs ne sont pas négligeables en baie d'Authie, l'évolution des spectres de taille témoignant de la croissance estivale. A l'inverse pour le gobie tacheté, la taille moyenne est plus faible en fin d'été qu'au printemps, traduisant le rajeunissement de la population consécutif au recrutement annuel.

Tableau 8 : Effectifs, tailles moyennes, min et max des poissons mesurés lors de la campagne d'automne 2019 en baie d'Authie

Taxons	N mesurés	Lf moy. (mm)	min	max
Ammodytes tobianus	27	96,0	70	123
Anguilla anguilla	9	157,9	103	238
Atherina presbyter	5	86,6	80	109
Chelidonichthys lucernus	2	77.0	59	95
Clupea harengus	35	69,6	46	87
Dicentrarchus labrax	19	71,4	42	105
Echiichthys vipera	1	103,0	103	103
Engraulis encrasicolus	2	81,0	75	87
Platichthys flesus	83	65,2	34	198
Pleuronectes platessa	9	92,9	74	119
Pomatoschistus microps	148	36,6	25	49
Pomatoschistus minutus	60	38,5	28	64
Sprattus sprattus	1	50,0	50	50
Syngnathus rostellatus	1	55,0	55	55
Trachurus trachurus	1	38,0	38	38
Total général	403	56,5	25	238

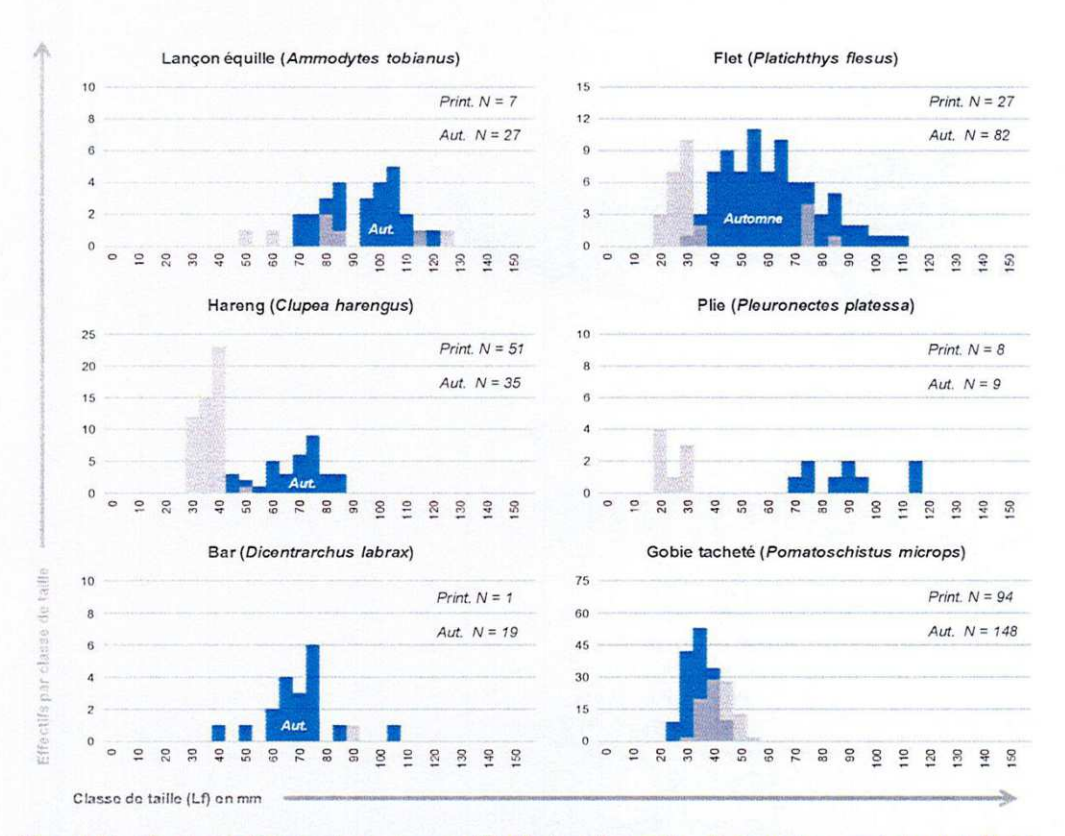


Figure 6 : Répartition des effectifs (ordonnées) en classes de taille (abscisse - Lf en mm) des principaux poissons capturés en baie d'Authie au chalut à perche (CP1,6 m, maillage de 5 mm noeud à noeud) au printemps (beige) et en automne 2019 (bleu)

## **EN RESUME:**

- En baie d'Authie, la campagne d'automne 2019 permet de recensement de 15 espèces de poissons avec une moyenne de 4,3 ± 2 taxons par station. La carcinofaune se compose de 5 taxons, les plus fréquents étant le crabe vert et la crevette grise.
- Les CPUE moyennes de l'ichtyofaune sont respectivement de 740 ± 687 ind.ha-1 et de 1 221 ± 1 056 g.ha-1. Les plus fortes concentrations d'effectifs se rapportent au gobie tacheté qui structure à lui seul 55 % des CPUE numériques mais seulement 16 % des CPUE pondérales, au second rang pour ce descripteur derrière le flet (49%).
- Comme lors de la campagne de printemps, les concentrations maximales de poissons (jusqu'à 2 034 ind.ha-¹) et de crevette grise (jusqu'à 58 192 in.ha-¹) s'observent surtout dans la partie interne de la baie.
- La taille moyenne des poissons reste faible (56,5 mm), traduisant à la fois une nette prépondérance des petites espèces une diminution de la taille en lien avec le recrutement estival (gobies, bar), compensée toutefois par l'augmentation de celle des poissons G0 (hareng, flet, plie).

## 3.5 ESTUAIRE DE LA CANCHE (TRANCHE CONDITIONNELLE)

L'arrivée par la mer dans l'estuaire de la Canche est bien balisée (importance de la pêche professionnelle au cours des siècles passés avec de nombreux vestiges visibles à Etaples). Le développement de la cité balnéaire du Touquet au début du 20ème siècle (1936), a eu un effet déplorable sur l'environnement en faisant disparaître une grande partie du schorre de la rive sud au profit d'un aérodrome et d'un hippodrome.





Photo 14 : Arrivée en Baie de Canche par la mer et vue dégagée sur la Réserve Naturelle Nationale de la Baie de Canche (rive nord). A l'intérieur de la baie, la rive sud est désormais en grande partie occupée par l'aérodrome du Touquet





Photo 15: Déchets plastique associés au chalutage

Photo 16: Exemple de contenu de la poche

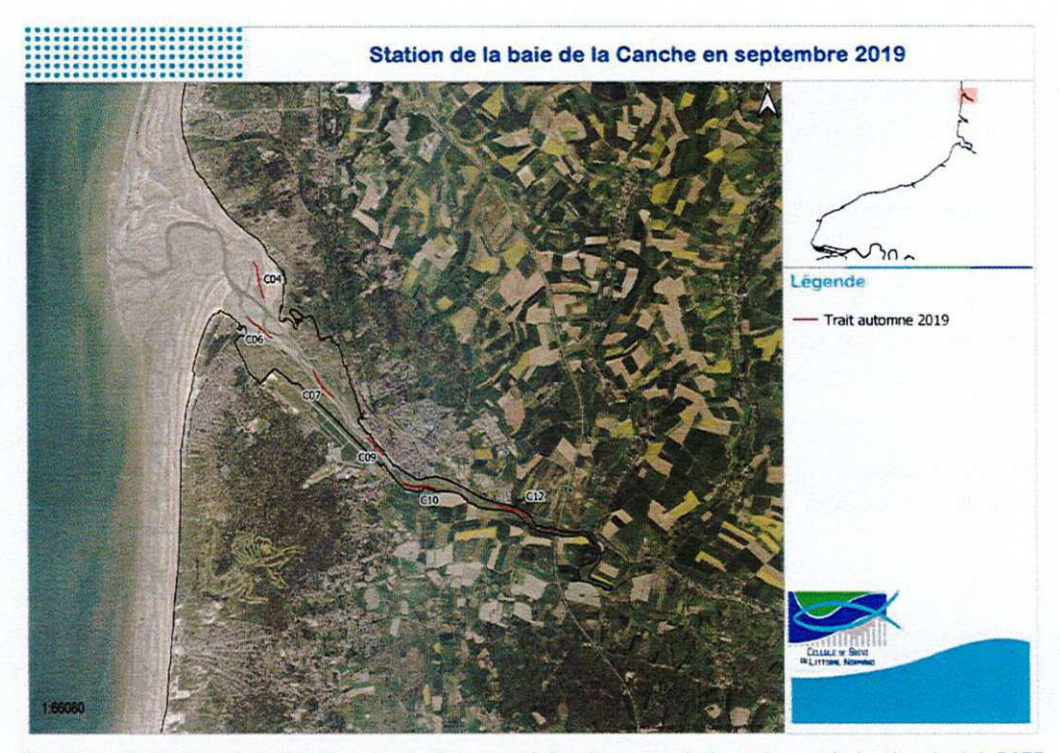
## 3.5.1 Organisation de l'échantillonnage

L'arrivée sur ce site se fait par la mer, après un trajet le long du littoral depuis la baie d'Authie. Il s'agit de partir dès l'arrivée du flot à la Madelon pour éviter la perte de temps due au transit d'un site à l'autre. L'échantillonnage débute donc dès l'entrée dans la baie de Canche en suivant le chenal principal. La montée de la mer sur l'estran permet de réaliser des traits latéraux en bordure de la réserve naturelle. On se rapproche du port d'Etaples pour les traits de jusant, avec un total de 6 traits validés pour cette 1ère marée dans l'estuaire de la Canche. La seconde journée permet théoriquement de valider six traits supplémentaires et de compléter le maillage des stations. Un incident a engendré la perte du bateau au cours de la nuit du 16 et le 17 septembre, empêchant de poursuivre et de terminer les opérations sur ce site. L'échantillonnage se porte donc sur six stations au lieu de 12, qui couvrent cependant l'essentiel du site sur le plan longitudinal (Carté 9).

Les eaux dessalées sont là aussi spatialement très restreintes (Tableau 9 & Figure 7) et les valeurs évoluent rapidement à la hausse au niveau d'Etaples peu de temps après l'arrivée du flot.

Tous les traits ont une durée de 15 minutes. La distance moyenne parcourue (628  $\pm$  77 m) est comparable à celle de la baie d'Authie (635  $\pm$  89 m). La profondeur moyenne est de 3,6  $\pm$  1 m, l'amplitude de variation étant seulement de 2,3 m entre le secteur le plus profond dans le chenal en

débouché de baie et la moindre colonne d'eau au pôle amont et lors du jusant. La moindre taille des filandres explique - comme en baie d'Authie - l'absence de prospection en bateau dans ce type d'habitat.



Carte 9 : Localisation des traits de chalut à perche dans l'estuaire de la Canche au cours des inventaires menés dans le cadre de la DCEE lors de la campagne d'automne 2019

## 3.5.2 Conditions hydrologiques

Trait commun aux trois estuaires des Hauts de France, la salinité reflète ici également la prédominance de la masse d'eau marine sur les apports d'eau douce dont l'influence est toujours réduite au fond de baie (Figure 7). Le domaine mésohalin est quasiment inexistant sur le plan spatio-temporel. Comme en baie d'Authie et en baie de Somme, le flot coince les eaux fluviales au pôle amont (ici en amont d'Etaples).

Les conditions thermiques sont de semblables aux deux autres sites, avec la même amplitude (16-18,5°C). Les conditions d'oxygénation de l'eau sont bonnes, avec un taux moyen de saturation de 97 %, sans évolution particulière sur le plan spatial.

Les turbidités, comprises entre 7 et 80 NTU sont, elles aussi du même ordre de grandeur que celles des deux autres sites, avec des valeurs associées à la remise en suspension sous l'effet du courant des sédiments les plus fins (en fond de baie).

Tableau 9 : Principales caractéristiques des traits de chalut effectués en estuaire de Canche lors de la campagne d'automne 2019

Date/houre	Coef marée	Station	Marée	Durée (min)	Distance par trait (m)	Prof. (m)	Temp. (°C)	Salinité	Oxygène dissous (%)	Turbidité (NTU)	Cond (µS/cm
16/09/2019 13:56		C04	Flot	15	733	2,8	18,5	33,7	95	6	44848
6/09/2019 14:27		C06	Flot	15	634	5,0	18,4	33,3	96	6	44274
6/09/2019 14:55	85	C07	PM	15	663	4,6	18,3	32,1	97	8	42759
6/09/2019 15:30	00	C10	Jusant	15	616	3,8	18,0	30,9	101	9	41229
6/09/2019 15:58		C12	Jusant	15	628	2,7	16,0	9,8	95	80	1390
6/09/2019 16:43		C09	Jusant	15	496	2,9	17,4	20,1	102	20	2754
17/09/2019	83	Pêc	he annul	ée pour	cause incid	ent					
oyenne Canche				15	628	3,6	17,8	26,6	97	22	35760
cert type				0.0	77		1,0	10		29	1248

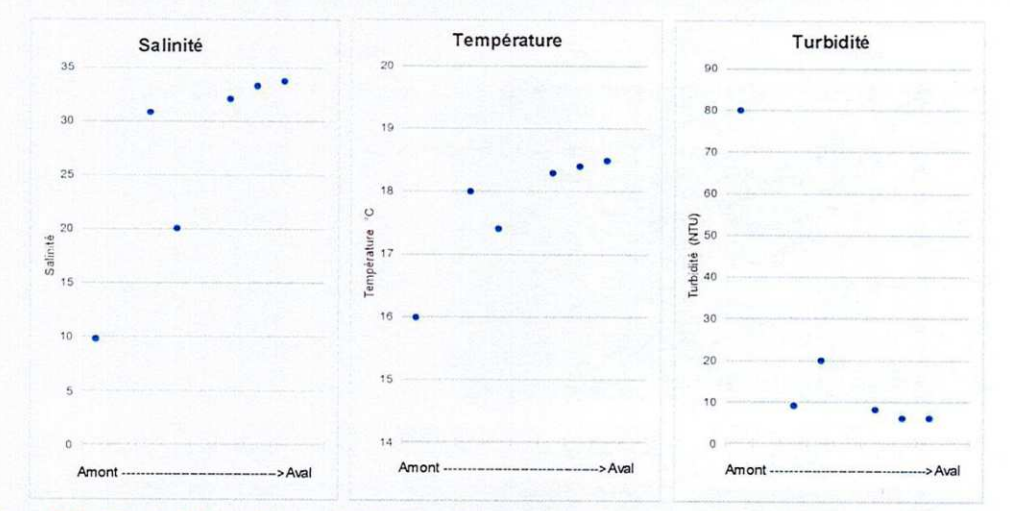


Figure 7 : Evolution longitudinale des paramètres hydrologiques mesurés dans l'estuaire de la Canche lors de la campagne d'automne 2019

## 3.5.3 Description succincte des assemblages d'espèces

La liste faunistique (Voir Annexes) se compose de 14 espèces de poissons, auxquels s'ajoutent 3 taxons de crustacés décapodes. La richesse moyenne de l'ichtyofaune est de  $6,2 \pm 1,3$  taxons par station de pêche.

Le groupe des poissons marins est à nouveau le principal contributeur de la richesse totale de l'ichtyofaune (10 espèces), toutes déjà observées en baie d'Authie où en baie de Somme. Parmi les poissons amphihalins, l'anguille est présente. Le seul poisson typiquement résident est le gobie tacheté. Le cortège s'enrichi d'une espèce de poisson d'eau douce : la brème.

## 3.5.3.1 Fréquence d'occurrence

La saisonnalité du sprat est un phénomène connu dans les estuaires. Absent au printemps, l'espèce devient constante en fin d'été, associé au gobie tacheté et au flet. Les espèces communes sont le bar, le hareng, le lançon équille et le gobie buhotte. Toutes les autres espèces sont occasionnelles à rares (Tableau 10).

31

Tableau 10 : Fréquence d'occurrence et contribution (%) des espèces au total des CPUE (numériques et pondérales) pour chacun des deux groupes faunistiques échantillonnés en baie de Canche lors de la campagne d'automne 2019

Nom vernaculaire	Nom scientifique	Gullde	Occurrence	CPUE (ni.ha-1)	Biomass (polds g.ha
Sprat	Sprattus sprattus	MMO	83%	41%	28%
Gobie buhotte	Pom atoschistus minutus	MMD	50%	34%	26%
Hareng	Clupea harengus	MMD	67%	11%	24%
Gobie tacheté	Pom atoschistus microps	ER	83%	7%	3%
Flet	Platichthys flesus	CAT/ANA	83%	6%	15%
Bar	Dicentrarchus labrax	MMD	67%	0,3%	0,9%
Lançon équille	Ammodytes tobianus	MMO	50%	0,3%	0,5%
Brème sp (juv)	Abramis	FW	17%	0,2%	0,6%
Anchois	Engraulis encrasicolus	MS	33%	0,2%	0,2%
Crevette grise	Crangon crangon	P-THEFFE PARTIES AND THE PARTI	100%	95%	35%
Crabe vert	Carcinus maenas		100%	5%	65%
Bouquet	Palaemon serratus		33%	0.0%	0.0%

## 3.5.3.2 Abondances

Les CPUE numériques de l'ichtyofaune varient entre 858 et 5 905 ind.ha<sup>-1</sup>, avec une moyenne de 3 388 ± 2 510 ind.ha<sup>-1</sup> (voir annexes). Ces chiffres témoignent d'un même ordre de grandeur que dans la baie de Somme, mais d'abondances vraisemblablement supérieures à celles de la baie d'Authie. Le sprat est l'espèce dominante au sein des effectifs (41 %), auquel s'ajoute principalement le gobie buhotte (34 %) et le hareng (11 %).

S'agissant de la carcinofaune, la biomasse moyenne est de 15 257 ± 11 221 g.ha<sup>-1</sup>. Le crabe vert représente à nouveau l'essentiel de la biomasse (65%), les effectifs étant quant à eux toujours largement dominés par la crevette grise (95%).

## 3.5.3.3 Répartition spatiale

Le gobie buhotte représente la majeure partie des captures à l'embouchure de la baie. Le sprat est dominant au niveau d'Etaples (C09 et C10), secteur à partir duquel les CPUE numériques du hareng, du flet et du gobie tacheté augmentent jusque dans les eaux douces (C12).

## 3.5.3.4 Spectre de taille des individus

La continuité hydrologique et la connexion littorale des trois sites se traduisent par des tailles moyennes remarquablement homogènes sur chacun d'eux (

Tableau 11), confirmant ainsi leur appartenance à une même unité fonctionnelle dans ce secteur de la Manche.

L'évolution des spectres de tailles individuelles entre les deux campagnes fourni des histogrammes remarquablement similaires en Canche (Figure 8) en comparaison avec les deux autres sites (Cf Figure 4 & Figure 6).

Tableau 11: Effectifs, tailles moyennes, mini et maxi des poissons mesurés en automne 2019 en estuaire de Canche

Taxons	N mesurės	Lf moy. (mm)	min	max
Abramis	2	55,0	54	56
Ammodytes tobianus	4	92,5	83	100
Anguilla anguilla	1	168,0	168	168
Atherina presbyter	1	71,0	71	71
Ciliata mustela	1	86,0	86	86
Clupea harengus	79	69,1	53	86
Dicentrarchus labrax	5	62,0	52	72
Engraulis encrasicolus	2	58,0	46	70
Platichthys flesus	64	58,2	34	98
Pleuronectes platessa	1	73,0	73	73
Pomatoschistus microps	104	35,6	22	48
Pomatoschistus minutus	50	46,9	25	69
Sprattus sprattus	100	47,2	40	58
Total général	414	51,4	22	168

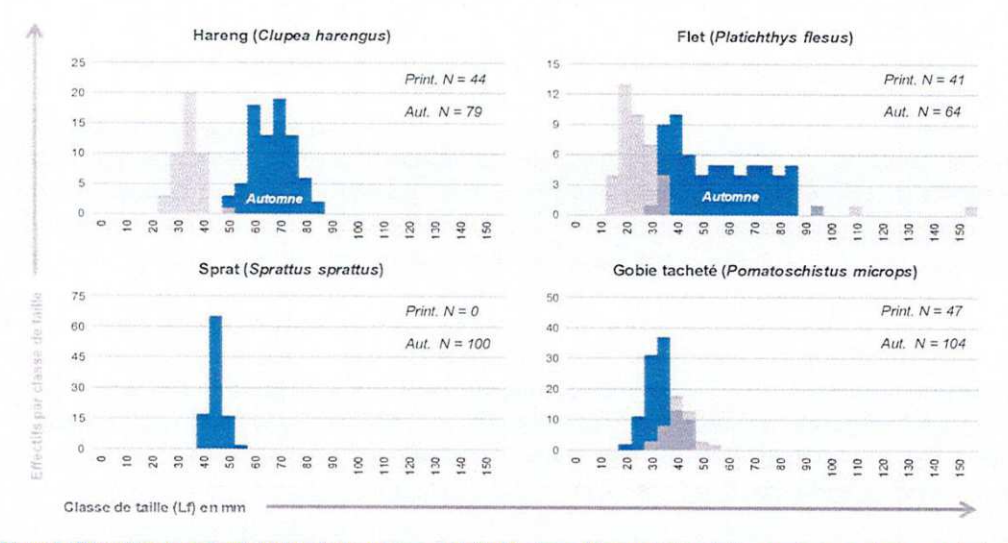


Figure 8 : Répartition des effectifs (ordonnées) en classes de taille (abscisse - Lf en mm) des principaux poissons capturés en estuaire de Canche au chalut à perche (CP1,6 m, maillage de 5 mm noeud à noeud) au printemps (beige) et en automne 2019 (bleu)

## **EN RESUME:**

- Dans l'estuaire de la Canche, la campagne d'automne 2019 a été interrompue en raison d'un incident majeur sur le
  moyen nautique. Les résultats reposent seulement sur la moitié des stations d'échantillonnage réparties cependant de
  façon à couvrir l'ensemble du site et permettant d'y recenser 14 espèces de poissons avec une moyenne de 6,2 ± 1,3
  taxons par station. La carcinofaune se compose de 3 taxons, les plus fréquents étant à nouveau le crabe vert et la
  crevette grise.
- Comme sur les deux autres sites, les CPUE augmentent en été pour atteindre lors de cette campagne une moyenne pour l'ichtyofaune de 3 388 ± 2 510 ind.ha-1 et de 15 257 ± 11 221 g.ha-1 pour les crustacés. Les plus fortes concentrations d'effectifs se rapportent au sprat (41 %), au gobie tacheté (34 %) et au hareng (11 %).
- La taille moyenne des poissons est de 51,4 mm, indiquant globalement les mêmes constats que ceux mentionnés pour la baie de Somme et la baie d'Authie, à savoir un usage préférentiel par les petites espèces et stades juvéniles.

## 4. Conclusions

## 4.1 CONDITIONS D'ECHANTILLONNAGE

- La campagne de pêche d'automne 2019 s'est déroulée au cours d'une seule vive-eau de vive eau du 14 septembre au 20 septembre dans de bonnes conditions météorologiques (vent de nord à nord-est). L'échantillonnage complet de la baie de Canche n'a pas été possible à cause d'un grave incident sur le moyen nautique.
- Les pêches se déroulent ± 1,5 heures autour de la pleine mer en baie de Somme, et ± 1 heure autour de la pleine mer en baie d'Authie et en baie de Canche.
- Le nombre de stations de pêche dépend de la surface totale de chaque site, ce qui justifie que la Baie de Somme fasse l'objet du double de nombre de stations (23-24 stations) comparativement à la baie d'Authie et la baie de Canche (12 stations chacune). Le nombre de prélèvements réalisé sur chaque site est conforme aux prévisions et aux travaux antérieurs.
- Le schorre de la baie de Somme est caractérisé par des chenaux de marée dont les dimensions (longueur, largeur, profondeur) permettent l'accès au moyen nautique. <u>Ce type d'habitat est échantillonné pour la première fois avec un chalut à perche, ce qui accroît de façon évidente la pertinence de l'échantillonnage</u> (meilleure couverture des habitats présents) et par conséquent celle des résultats obtenus.
- Trait commun aux trois systèmes, les faibles apports d'eau douce (< 30 m ».s<sup>-1</sup>) engendrent l'oscillation de masses d'eau typiquement marines. La salinité mesurée avant chaque trait caractérise presque partout les domaines euhalins à polyhalins, tandis que l'eau douce est coincée à l'amont dans le lit du fleuve et dans le schorre adjacent lorsque la configuration le permet (baie de Somme).

## 4.2 LES ASSEMBLAGES D'ESPECES OBSERVES

## 4.2.1 Baie de Somme

- En baie de Somme, la campagne d'automne 2019 est moins diversifiée en poissons (15 espèces) que celle de printemps (20 espèces). A l'inverse, les crustacés décapodes sont plus diversifiés en fin d'été, avec une fréquence accrue du bouquet commun (*P. serratus*).
- En augmentation par rapport à la campagne de printemps, les CPUE moyennes en automne de l'ichtyofaune sont respectivement de 3 435 ± 6 547 ind.ha-¹ et de 2 364 ± 4 195 g.ha-¹. Les plus fortes concentrations d'effectifs se rapportent au gobie tacheté qui structure à lui seul 72 % des CPUE numériques et 54 % des CPUE pondérales.
- Les concentrations maximales de poissons et de crustacés s'observent lors de cette campagne dans la partie interne de la baie et dans les filandres du schorre, avec respectivement jusqu'à 29 086 ind.ha-1 pour les poissons et 63 819 ind.ha-1 pour la crevette grise, principale espèce de crustacé.
- La taille moyenne des poissons est de 42,5mm, indiquant globalement la dominance des petites espèces (e.g. gobies) et stades juvéniles. Certaines espèces font un séjour assez fugace sur le site comme la plie et le flet, poissons plats devenus rares en automne.

## 4.2.2 Baie d'Authie et de Canche

La campagne de printemps faisait état de moindres richesses et abondance de l'ichtyofaune dans ces deux petites baies. Ce n'est plus le cas en automne où le niveau de richesse devient désormais du même ordre de grandeur qu'en baie de Somme (une quinzaine d'espèces). Les crustacés sont en revanche plus diversifiés en baie de Somme en fin d'été (6 espèces), avec une présence notoire du bouquet commun (Fo = 43 %) que l'on observe pas dans la Canche ni l'Authie.

Les abondances numérique de l'ichtyofaune augmentent aussi sur ces deux sites au cours de l'été pour atteindre à la mi-septembre 740 ± 687 ind.ha<sup>-1</sup> et 3 388 ± 2 510 ind.ha<sup>-1</sup> respectivement en baie d'Authie et de Canche. La différence entre ces deux sites est partiellement due à une moindre pression de pêche en Canche (n'ayant fait l'objet que de la moitié de l'échantillonnage escompté), mais aussi à des CPUE de sprat et de gobie buhotte nettement plus élevée dans la Canche.

## 4.2.3 A l'échelle des trois sites

Les espèces d'origine marine sont largement prépondérantes au sein du catalogue d'espèces, mais leur contribution à l'abondance est très variable suivant le site. En baie de Somme, l'échantillonnage des filandres du schorre révèle l'importance des espèces résidentes (gobie tacheté = 72 % de la CPUE totale), visiblement sous-estimées en Authie et en Canche puisque le schorre n'y est pas échantillonné. La baie de Canche est le seule site où les espèces marines juvéniles sont les plus abondantes (88 %), avec trois espèces à l'origine de ce constat : le sprat, le gobie buhotte et le hareng.

L'ensemble [ichtyofaune + macro-crustacés] fait l'objet de flux tidaux plus ou moins importants selon les espèces. Quel que soit le site, le barycentre fonctionnel de ce compartiment faunistique est positionné dans la zone de mélange des eaux de la partie interne des baies et non dans la partie externe. Ce phénomène semble exacerbé en condition d'étiage estival et de débits fluviaux remarquablement faibles en 2019.

## 5. Références bibliographiques

- Amara R., Selleslagh J., Cornille V., 2009 Etat des lieux des peuplements piscicoles dans les eaux de transition du bassin Artois-Picardie. Agence de l'eau Artois-Picardie, rapport final convention n° 56187, 40 pp.
- Amara R., Rabhi K., Lecuyer E., Cornille V., 2014. Etat des lieux des peuplements piscicoles dans les eaux de transition du bassin Artois-Picardie. Agence de l'eau Artois-Picardie, rapport final convention n° 56187, 30 pp.
- Duhamel S., Rey M., Hanin C., 2019. DCE: suivi de l'ichtyofaune en masses d'eau de transition.

  Campagne de printemps 2019 Baie de Somme, Canche et Authie. Rapport CSLN/Agence de l'Eau Artois-Picardie, 36pp + annexes.
- Fish Pass, 2010. Inventaires piscicoles dans l'estuaire de la Somme (Campagnes de printemps et d'automne), 27 pp.
- Mc Lusky D.S., Elliott M., 2004. The estuarine ecosystem. Ecology, threats and management. *Third* edition. Oxford University Press, 214 pp.
- Selleslagh J. & R. Amara, 2008. Environmental factors structuring fish composition and assemblages in a small macrotidal estuary (eastern English Channel). Estuarine, Coastal and Shelf Science, 79, 507-517.
- Selleslagh J., Lobry J., Amara R., Laffargue P., Lesourd S., Lepage M., Girardin M., 2009. Composition and functioning of three fish estuarine assemblages of the eastern English Channel: a comparison with French estuaries. *Estuarine*, Coastal and Shelf Science, 81, 149-159.
- Selleslagh J., Lobry J., Amara R., Boet P., 2011. Trophic functioning of coastal ecosystems along an anthropogenic pressure gradient: A French case study with emphasis on a small and low impacted estuary. Estuarine, Coastal and Shelf Science, 112, 73-85.
- Selleslagh J. & R. Amara, 2014. Are estuarine fish opportunistic feeders? The case study of a low anthropized nursery ground (The Canche estuary, France). Estuaries and Coasts, 38, 252-267.

## Liste des cartes

Carte 1 :	Localisation des stations d'échantillonnage (noms des stations attribués par la CSLN) au petit chalut à perche en Baie de Somme lors de la campagne de printemps 2019 à revoir
Carte 2 :	Richesse spécifique de l'ichtyofaune lors des deux campagnes de pêche de l'année 2019 15
Carte 3:	Répartition spatiale de l'ichtyofaune dans la baie de Somme en 2019
Carte 4 :	Répartition spatiale du gobie tacheté dans la Baie de Somme lors des deux campagnes de suivi DCE en 2019
Carte 5 :	Répartition spatiale du hareng dans la baie de Somme lors des 2 campagnes de suivi DCE en 2019
Carte 6 :	Répartition spatiale du sprat (ind.ha <sup>-1</sup> ) dans la baie de Somme lors des 2 campagnes de suivi DCE en 2019
Carte 7 :	Répartition spatiale de la crevette grise dans la baie de Somme lors des deux campagnes de pêche DCE en 2019
Carte 8 :	Localisation des traits de chalut en baie d'Authie lors de la campagne d'automne 2019 24
Carte 9 :	Localisation des traits de chalut dans l'estuaire de la Canche au cours des inventaires menés dans le cadre de la DCEE lors de la campagne d'automne 2019
Liste d	les figures
Figure 1	: Evolution longitudinale des paramètres hydrologiques mesurés en Baie de Somme lors de la campagne d'automne 2019
Figure 2	: Evolution longitudinale d'amont en aval des moyennes de CPUE numérique (ind.ha <sup>-1</sup> ) dans les chenaux du prisme sableux (hors schorre)
Figure 3	: Comparaison des moyenne de CPUE numérique (ind.ha <sup>-1</sup> ) entre les deux types d'habitats échantillonnés pour les principales espèces de poissons et de crustacés
Figure 4	: Répartition des effectifs en classes de taille des principaux poissons capturés en baie de Somme au chalut à perche (CP1,6 m, maillage de 5 mm noeud à noeud) au cours des campagne de printemps et automne 2019
Figure 5	: Evolution longitudinale des paramètres hydrologiques mesurés en Baie d'Authie lors de la campagne d'automne 2019
Figure 6	: Répartition des effectifs (ordonnées) en classes de taille (abscisse - Lf en mm) des principaux poissons capturés en baie d'Authie au chalut à perche (CP1,6 m, maillage de 5 mm noeud à noeud) au printemps et en automne 2019
Figure 7	: Evolution longitudinale des paramètres hydrologiques mesurés dans l'estuaire de la Canche lors de la campagne d'automne 2019
Figure 8	: Répartition des effectifs (ordonnées) en classes de taille (abscisse - Lf en mm) des principaux poissons capturés en estuaire de Canche au chalut à perche (CP1,6 m, maillage de 5 mm noeud à noeud) au printemps et en automne 2019

## Liste des tableaux

Tableau 1	: Identification et principales caractéristiques du moyen nautique employé en 2019 pour les pêches au petit chalut à perche sur les trois estuaires des Hauts de France
Tableau 2	: Calendrier récapitulatif des dates des inventaires de l'ichtyofaune réalisés lors de la campagne d'automne 2019 sur les trois masses d'eau de transition des Hauts de France dans le cadre de la DCEE
Tableau 3	: Principales caractéristiques des traits de chalut à perche réalisés en baie de Somme lors de la campagne d'automne 2019 de suivi DCE « poissons »
Tableau 4	: Fréquence d'occurrence et composition du cortège de poissons et de crustacés lors de la campagne d'automne 2019
Tableau 5	: Effectifs, tailles moyennes, min et max des poissons mesurés en Baie de Somme lors de la campagne d'automne 2019
Tableau 6	: Principales caractéristiques des traits de chalut effectués en baie d'Authie lors de la campagne d'automne 2019
Tableau 7	: Fréquence d'occurrence et contribution (%) des espèces au total des CPUE (numériques et pondérales) pour chacun des deux groupes faunistiques échantillonnés en Baie d'Authie lors de la campagne d'automne 2019
Tableau 8	: Effectifs, tailles moyennes, min et max des poissons mesurés lors de la campagne d'automne 2019 en baie d'Authie
Tableau 9	: Principales caractéristiques des traits de chalut à perche effectués en estuaire de Canche lors de la campagne d'automne 2019
Tableau 1	0 : Fréquence d'occurrence et contribution (%) des espèces au total des CPUE (numériques et pondérales) pour chacun des deux groupes faunistiques échantillonnés en baie de Canche lors de la campagne d'automne 2019
Tableau 1	1 : Effectifs, tailles moyennes, mini et maxi des poissons mesurés en automne 2019 en estuaire de Canche

# ANNEXE 1

# Baie de Somme: CPUE lors de la campagne d'automne 2019

Petit chalut à perche / CPUE numériques (nb d'ind.ha-1)

				Embo	uchur	e aval				Schort Hourde		Che	rat prii	Che	Te Ma			Port St-	Š	Fishorre	ond de fond d	Baio lo baio				1100
om scientifique		Guilde	1028		COSE	9098	9058	7028		60SE	orea elorrea	SISE	£188	9244	stsa.	9128	2158	rsea	8128		0258	SZSB	8258	- Iego	Moy.	<sub>f</sub> ype
Lampetra fluviatilis	ellis	CATIANA	0	0				0	20		-	1		-	0	14	0	0	0	9	5		_	-	-	3
Liza ramada		CATIANA	0	0				0						-	0	0	0	0	0					-	0	2
Platichthys flesus	sus	CATIANA	6	0				0						-	0	14	0	10	0						8	9
atoschis	Pomatoschistus microps	ER	6	0				0	C	_	-			-	0	542	1236	398	11979						2472	6241
nathus	Syngnathus rostellatus	ER	0	=				28							0	0	0	0	0						12	45
Clupea harengus	snbus	MWD	0	0				4						-	0	1444	1306	330	267					-	506	405
ntrarch	Dicentrarchus labrax	MMD	0	0				0							0	99	0	0	29						23	40
afosch	Pomatoschistus minutus	OWW	6	0				0						-	1396	28	0	78	0						02	290
odyte	Ammodytes tobianus	MWO	0	0				0						-	0	28	0	0	13					-	9	18
d eui	Atherina presbyter	MWO	0	0				0			-				0	0	0	0	13						80	19
la mi	Ciliata mustela	MMO	6	0				0							0	0	0	0	0					-	7	7
опе	Pleuronectes platessa	MWO	6	22				4			-				0	0	0	0	0					-	8	7
ttus s	Sprattus sprattus	MMO	0	0				0						_	0	1444	2847	524	2791						623	1178
aulis	Engraulis encrasicolus	WS	0	0				0							0	0	0	10	0					-	4	17
htha	Scophthalmus mombus	WS	0	0				0						-	0	0	0	0	0					-	-	9
		CPUE	1/	33	87	66 224	4 374	56	132 29	9000 48	1896 257	57 6319	9 222	721	1396	3569	5389	1349	16131	960	1948	2602 47	4200 78	79003	3435	65.47
	Richesse spécifique	pécifique	9	2				•			NUMBER OF STREET			SANGE SANGE	-	8	3	9	9				EDIDA:		4,0	2,0
inus	Carcinus maenas		27	459				4							3005	375	903	602	294					-	1096	1974
gon	Crangon crangon		1779	968				83			-		_	-	1878	35361	63819	13014	4380		-	Ξ			1882	19419
emo	Bouquet flaque/chewette Palaemon elegans		0	0				0						-	0	0	0	0	0						0	2
ome	Palaemon longirostris		0	0				0						-	0	0	0	641	0						20	166
emo	Palaemon serratus		6	0				0						-	308	28	0	0	13					-	66	236
num	Portumnus latipes		6	0				0							0	0	0	0	0					-	0	2
		CPUE	1824	1355	145	11 975	5 237	- 87	1364		重	386 ##		STREET, STREET	1615	35764	64722	14257	4688	Donald Co.	BWS		TOPOSTO	COUNCES OF THE PERSON NAMED IN	3127	19673
	Richesse sp	e spécifique	4	2	2	-	•	2	OPERATE		Chias.			001040	•		2		6				100 Marie	20149 20149	2,6	2'0
Bivalvia			0	0	48 2	278 24	0 81	0	0		354 0			_	19	0	0	0	0					-	181	564
		CPUE 0	0		48 2	78 24	18 0			0 1.	35.4		28	26	19		0	0	0				0 4	144	181	564
ø	The state of the s	The supplement of	The same of	distribute.	Sharmen	STREET, SQUARE,	SPS-SPS-SPS-SPS-	Whenevers	PODROTON AND	SPECTATION.	Wildram Please	(Sharming)	Management	W Broadway	Memorina	Merry	NAME AND POST OF THE PARTY NAME AND POST OF	Opposition and a second	Special property	Name and Address of the Owner, where	STATE STATE OF	PROFESSION STREET	STREET STATES	CONTRACTOR NAMED IN	SERVICE OF THE REAL PROPERTY.	(Appropriate

Petit chalut à perche / CPUE pondérales (g poids frais.ha¹)

											Hound					Cham	= >		-	ort St-		Schor	re form	d die b	aie			a a	T I
Nom vemaculare	Nom scientifique	Guilde	LOSE	Sose	8203	10S8	9099	B206	BS07	80SE	6058	0128	sigtt S8	2128	ELSE		9158	BSJe	L188	B254	8128	6128	9880	8853	B253	Lota	e Mo		уро
	Lampetra fluviatilis	CATIANA	0	0	0	0	9	0		-		-	10	0	_	8	-	8	0	0	0	0	0	1		1		_	33
Mulet porc	Liza ramada	CATIANA	0	0	0	0		0						0					0	0	0	0	0			2011	-	-	4
	Platichthys flesus	CATIANA 359	359	0	0	0		0	0			-		0			-		0	80	0	0	0			926	-	-	13
Gobie tacheté	Pomatoschistus microps ER	ER	2	0	14	17		0		-				929			-		386	140	7746	336	575			6,			878
Syngnathe de Duméril Syngnathus rostellatus	Syngnathus rostellatus	ER	0	54	0	0		256		-		-		0			-		0	0	0	0	0					-	53
Hareng	Clupea harengus	MMD	0	0	0	0		0		_				1600	-		-		833	962	553	0	648			_			95
Bar	Dicentrarchus labrax	MWD	0	0	0	0		0		-		-		308					0	0	235	58	0					_	63
Gobie buhotte	Pomatoschistus minutus	MMD	12	0	0	0		48				115		0					0	204	0	0	0					-	28
Lançon équille	Ammodytes tobianus	MMO	0	0	0	25		0						29			-		0	0	16	9	0						15
Athérine	Atherina presbyter	MMO	0	0	0	0		195				_		89					0	0	4	0	0				-		88
Motelle à 5 barbillons Ciliata mustela	Ciliata mustela	MMO	220	0	0	0		185				_		0					0	0	0	0	0			-	-	-	69
Plie	Pleuronectes platessa	MMO	74	=======================================	0	0		118						0					0	0	0	0	0				-	-	38
Sprat	Sprattus sprattus	MMO	0	0	0	0		70				-		2917					908	369	1854	12	150				-	-	72
Anchois	Engraulis encrasicolus	WS	0	0	0	0		0						69					0	12	0	0	0			III)		-	15
Barbue	Scophthalmus rhombus	MS	0	0	0	0	- 0	0	- 19	_	- 1	-		0	-	- 11	_	- 3	0	0	0	0	0			-	-		14
Total Johnson		CPUE 67	67.1	135	14		19.5	872		130 14	17605 4	1246	285	9099	106	471	1090	5663 6	5625	1528	10443	409	1373	3 1734	4 2319	9 80572		2634 4	4195
Lotal leftily viaurie	Richesse spécifique	ecitique	10	2	-	2		9	3			NATION.		1	OSMS;		empires.		3	9	9	*	3					MARK THE	0'2
Crabe vert	Carcinus maenas		561	9279	22	0	13.5	30118		-		-		11667			-	183	2500	8152	2845	8116	1533					-	3300
Crevette grise	Crangon crangon		655	511	4	22		6718	25 4			-		16694			_		1910	3280	1402	3092	969	4 15644				-	166
Bouquet flaque/chevrett Palaemon elegans	Palaemon elegans		0	0	0	0		0				17.		0	_				0	0	0	0	0					-	2
Crevette blanche	Palaemon longirostris		0	0	0	0		0		-		_		0					0	340	0	0	0			_	-	_	92
Bouquet	Palaemon serratus		2	0	0	0		80		_		_		11	-		-		0	0	3	14	826			_		-	:03
Etrille élégante	Portumnus latipes		4	0	0	0	-	0		_				0	-				0	0	0	0	0				-	-	1
Total Chiefacos		CPUE	1225	9790		3	1320	9169	95	3727	7.86	299 2	9199	8378	133 2	2000	5 0788	938 4	44.0	11772	4249	17614	2312	5 5967	0 41	979 678	CONTRACTOR OF THE PARTY OF THE		1634
rangienio (gio	Richesse spécifique	ecilique	•	2	2	-	2		2	2	7		3	3	2	2	•	3	2	3		3	3	•	2		000007		1'1
Bivalves	Bivalvia		0	0	28	243	4171	0	0	0		5863	0	0	47	38	114	0	0	0	0	0	0	0	0		-		462
Total Bivalves		EPUE		0	28		144			0	0	963		0		38	F		0		0	0	0			00			197

## ANNEXE 2

## Baie d'Authie : CPUE lors de la campagne d'automne 2019

## Petit chalut à perche / CPUE numériques (nb d'ind.ha-1)

			A	/al	<		Ch	enal	princ	ipal		->	Amo	nt			Eeur
Nom vemaculaire	Nom scientifique	Guilde		402		Aod	405	90)		80\	A09	A10	Ξ	(12	Total	Moy.	Type
Anguille	Anguilla anguilla	CAT/ANA	0	0	0	0	0	0	0	0	0	0	24	75	99	8	22
Flet	Platichthys flesus	CAT/ANA	0	0	0	0	0	0	35	59	270	471	49	809	1692	141	255
Gobie tacheté	Pomatoschistus microps	ER	18	10	18	189	37	0	1965	1558	629	138	135	202	4898	408	660
Syngnathe de Duméril	Syngnathus rostellatus	ER	0	0	0	0	0	0	0	10	0	0	0	0	10	1	3
Hareng	Clupea harengus	MMD	0	0	0	0	103	24	0	39	154	0	12	138	471	39	58
Bar	Dicentrarchus labrax	MMD	0	0	0	0	9	8	35	108	26	0	0	0	186	15	31
Gobie buhotte	Pomatoschistus minutus	MMD	0	0	0	0	553	513	0	0	0	0	0	0	1066	89	208
Lançon équille	Ammodytes tobianus	MMO	18	20	9	0	150	40	0	10	0	0	0	0	247	21	43
Athérine	Atherina presbyter	MMO	0	0	0	0	37	0	0	10	0	0	0	0	47	4	11
Plie	Pleuronectes platessa	MMO	9	30	9	28	9	0	0	0	0	0	0	0	86	7	11
Sprat	Sprattus sprattus	MMO	0	0	0	0	0	0	0	10	0	0	0	0	10	1	3
Grondin perlon	Chelidonichthys lucernus	MS	0	20	0	0	0	0	0	0	0	0	0	0	20	2	6
Petite vive	Echiichthys vipera	MS	0	0	0	0	9	0	0	0	0	0	0	0	9	1	3
Anchois	Engraulis encrasicolus	MS	0	0	0	0	19	0	0	0	0	0	0	11	29	2	6
Chinchard	Trachurus trachurus	MS	0	10	0	0	0	0	0	0	0	0	0	0	10	1	3
Total Ichtyofaune		CPUE	45	90	35	217	928	585	2034	1803	1078	609	220	1235	8879	740	687
r ozarienty orausie	Richesse sp	écifique	3	5	3	2	9	4	3	8	4	2	4	5	15	4,3	2,2
Crabe vert	Carcinus maenas		273	70	8746	519	1340	128	1087	1616	1810	2918	734	75	19316	1610	2406
Crevette grise	Crangon crangon		609	1763	1415	548	8199	849	8667	16546	25680	58192	6629	383	129479	10790	16829
Crabe chinois	Eriocheir sinensis		0	0	0	0	0	0	0	0	0	0	12	53	65	5	15
Crabe	Hemigrapsus		0	0	0	0	9	0	0	0	0	0	0	0	9	1	3
Bouquet flaque/chevret	Palaemon elegans		0	0	0	0	0	0	9	0	0	138	147	0	293	24	55
Total Crustacés		CPUE	881	1833	10162	1067	9548	978	9762	18162	27490	61248	7522	511	149163	12430	F/GE
roun orustaces	Richesse sp	écifique	3	3	3	3	4	3	4	3	3	4	5	4	5	3,5	0.7

## Petit chalut à perche / CPUE pondérales (g poids frais.ha-1)

			A	val	<		Che	nalp	rinci	oai		->	Amo	11			Ecart
Nom vernaculaire	Nom scientiflaue	Guilde	107		A03	Age	A05	A06	A.07		A09	A 10	1	A 12	Total	₩oy.	Type
Anguille	Anguilla anguilla	CAT/ANA	0	0	0	0	0	0	0	0	0	0	342	471	813	68	161
Flet	Platichthys flesus	CAT/ANA	0	0	0	0	0	0	202	362	1052	1559	1186	2811	7173	598	891
Gobie tacheté	Pomatoschistus microps	ER	11	2	7	77	17	0	902	696	316	100	78	104	2310	193	299
Syngnathe de Duméril	Syngnathus rostellatus	ER	0	0	0	0	0	0	0	2	0	0	0	0	2	0.2	1
Hareng	Clupea harengus	MMD	0	0	0	0	262	34	0	90	182	0	44	373	986	82	125
Bar	Dicentrarchus labrax	MMD	0	0	0	0	51	30	174	601	51	0	0	0	908	76	173
Gobie buhotte	Pomatoschistus minutus	MMD	0	0	0	0	397	231	0	0	0	0	0	0	628	52	127
Lançon équille	Ammodytes tobianus	MMO	18	24	23	0	493	58	0	8	0	0	0	0	623	52	140
Athérine	Atherina presbyter	MMO	0	0	0	0	206	0	0	31	0	0	0	0	237	20	59
Plie	Pleuronectes platessa	MMO	69	377	155	72	45	0	0	0	0	0	0	0	717	60	111
Sprat	Sprattus sprattus	MMO	0	0	0	0	0	0	0	10	0	0	0	0	10	1	3
Grondin perlon	Chelidonichthys lucernus	MS	0	112	0	0	0	0	0	0	0	0	0	0	112	9	32
Petite vive	Echiichthys vipera	MS	0	0	0	0	77	0	0	0	0	0	0	0	77	6	22
Anchois	Engraulis encrasicolus	MS	0	0	0	0	32	0	0	0	0	0	0	19	51	4	10
Chinchard	Trachurus trachurus	MS	0	4	0	0	0	0	0	0	0	0	0	0	4	0,3	1
Total Ichtyofaune		CPUE		519	185	149	1580	353	1278	1801	1602	1659	1651	3778	14652	1221	1056
r otal territy craums	Richesse s	pécifique	3	5	3	2	9	4	3	8	4	2	4	5	15	4,3	2,2
Crabe vert	Carcinus maenas		4179	1402	17493	10668	28111	1042	23905	23707	16299	20159	10242	445	157651	13138	9863
Crevette grise	Crangon crangon		200	599	550	228	4001	409	3042	9399	13557	34917	1962	147	69012	5751	10111
Crabe chinois	Eriocheir sinensis		0	0	0	0	0	0	0	0	0	0	104	4129	4233	353	1190
Crabe	Hemigrapsus		0	0	0	0	11	0	0	0	0	0	0	0	11	1	3
Bouquet flaque/chevre	t Palaemon elegans		0	0	0	0	0	0	2	0	0	111	205	0	319	27	65
Total Crustacés		CPUE	4379	2001	18043	10897	32123	1450	26949	33105	29856	55187	12513	4721	231226	19269	16471
Total Glustaces	Richesse s	pécifique	3	3	3	3	4	3	4	3	3	4	5	4	5	3,5	0,7

## ANNEXE 3

## Estuaire de la Canche : CPUE lors de la campagne d'automne 2019

## Petit chalut à perche / CPUE numériques (ind.ha-1)

				A	val <		Che	nal p	rincip:	al	Total Service	> Amo	nt				Ecor
Nom vemaculaire	Nom scientifique		603	C02	603	0.04	502		207	800	000			C12	Total	Moy.	type
Brème sp	Abramis	FWM		MIC AND		0		0	0		0	0		40	40	7	16
Anguille	Anguilla anguilla	CAT/ANA				0		0	0		0	0		20	20	3	8
Flet	Platichthys flesus	CAT/ANA				26		0	66		76	335		657	1159	193	257
Gobie tacheté	Pomatoschistus microps	ER				0		10	264		50	791		259	1374	229	300
Clupéidé juv.	Clupeidae					9		0	0		0	0		0	9	4	3
Hareng	Clupea harengus	MMD				0		0	19		617	1157		358	2151	359	464
Bar	Dicentrarchus labrax	MMD				0		0	19		13	10		20	62	10	9
Gobie buhotte	Pomatoschistus minutus	MMD				895		5856	207		0	0		0	6958	1160	2327
Lançon équille	Ammodytes tobianus	ммо				9		30	0		0	20		0	58	10	13
Athérine	Atherina presbyter	ммо				0		0	0		13	0		0	13	2	5
Motelle à 5 barbillons	Ciliata mustela	ммо				9		0	0		0	0		0	9	1	3
Plie	Pleuronectes platessa	ммо				0		0	9		0	0		0	9	2	4
Sprat	Sprattus sprattus	ммо				0		10	273		4398	3551		199	8431	1405	2011
Anchois	Engraulis encrasicolus	MS				0		0	0		13	20		0	33	5	9
		CPUE	nd	nd	nd	946	nd	5905	858	nd	5179	5885	ne	133	(20)5243	3388	2510
Total Ichtyofaune	Richesse	spécifique				5		4	7		7	7		7	14	6.2	1,3
Crabe vert	Carcinus maenas					1074		276	1018		151	416	-	80	3015	503	437
Crevette grise	Crangon crangon					554		4062	21974		9123	20414		5673	61799	10300	
Bouquet commun	Palaemon serratus					9		0	19		0	0		0	27	5	8
Total Crustacés		CPUE	nd	nd	nd	1637	nd	4538	23011	10	9274	20830	nd.	576574	64642	10807	8980
. Juan Crossaces	Richesse	spécifique				3		2	3		2	2		2	3	2,3	0,5
Bivalves					100	9		0	0	5	0	0	Sis.	0	9	1	3
Total bivalves			-	ng	nd		114	0.00		10					107100	RF8	

## Petit chalut à perche / CPUE pondérales (g poids frais.ha-1)

		V. Joseph			val <		Che	nal pr	incipa			Amo	(1500				199
Nom vernaculaire	Nom scientifique		C01	202	503	004	605		200	802	600			C12	Total	Moy.	type
Brème sp	Abramis	FWM				0	-	0	0	TO LANCE	0	0		107	107	18	44
Anguille	Anguilla anguilla	CAT/ANA				0		0	0		0	0		143	143	24	59
Flet	Platichthys flesus	CAT/ANA				27		0	343		255	393		1903	2920	487	712
Gobie tacheté	Pomatoschistus microps	ER				0		10	92		23	322		123	570	95	121
Clupéidé juv.	Clupeidae					9		0	0		0	0		0	9	1	3
Hareng	Clupea harengus	MMD				0		0	28		1399	2308		884	4619	770	950
Bar	Dicentrarchus labrax	MMD				0		0	70		28	34		40	172	29	26
Gobie buhotte	Pomatoschistus minutus	MMD				500		4175	326		0	0		0	5001	833	1650
Lançon équille	Ammodytes tobianus	MMO				13		51	0		0	26		0	90	15	21
Athérine	Atherina presbyter	MMO				0		0	0		35	0		0	35	6	14
Motelle à 5 barbillons	Ciliata mustela	MMO				43		- 0	0		0	0		0	43	7	17
Plie	Pleuronectes platessa	MMO				0		0	30		0	0		0	30	5	12
Sprat	Sprattus sprattus	MMO				0		6	183		2818	2201		135	5342	890	1271
Anchois	Engraulis encrasicolus	MS				0		0	0		18	13		0	31	5	8
Total lohtyofaune		CPUE	nd	nd	ಕಾರ	591	nd	4242	1073	nd	4574	5297	nd	3336	19113	3185	108
	The state of the s	spécifique				5		4	7		7	7		7	14	6,2	1,3
Crabe vert	Carcinus maenas					28308		5633	16308		1633	6291		1107	59280	9880	1055
Crevette grise	Crangon crangon					258		2055	12481		4635	10045		2771	32244	5374	4834
Bouquet commun	Palaemon serratus		***************************************		-	3		0	15		0	0		0	18	3	6
Total Crustacés		CPUE	nd	nd	nd	28569	nd	7688	28805	nd	6268	16335	nd	3877	81542	15257	1122
	Richesse	spécifique				3		2	3	100	2	2		2	3	2,3	0,5
Bivalves	A CONTRACTOR OF THE PARTY OF TH		-			20		0	0		0	0		0	20	3	8
Total bivaives			nd	nd		20	nd			nd				1	20		



## CSLN

Association Loi 1901 53 rue de Prony 76600 LE HAVRE Tél.: 02 35 21 71 70 E-mail: csln@csln.fr